

Elettronica delle microonde

Introduzione al corso

In questa trattazione si parla di microonde, ovia di trattazione del campo elettromagnetico da qualche centinaio di MHz a qualche centinaio di GHz. Vi sono, in questo vasto range, altre sottosuddizioni: le radiofrequenze, ovia quel range di frequenze in cui si può ancora usare dispositivi a silicio (circa 4 MHz); ciò comprende tutta la telefonia cellulare.

Per quello propriamente chiamato "microonde", da 5 GHz a qualche decina di GHz, può essere (diciamo che di sicuro) necessario usare materiali e/o tecnologie dedicate, ovia non basate sul silicio. Essendo a così alte frequenze, inoltre, le λ sono dell'ordine del millimetro, dunque gli effetti distribuiti si fanno sentire.

Quello che faremo, in pratica, è usare tecniche di progetto "miste" tra elementi concentrati e distribuiti.

Salendo ulteriormente di frequenza, ci sono le onde millimetriche, per quanto esse (a meno della sensoristica e della radiostatica) non siano ancora usate in applicazioni specifiche.

Si pensa di poterle usare soprattutto per applicazioni punto-punto, poiché fortemente assorbite dall'atmosfera.

Le microonde si usano sin dalla seconda guerra mondiale, soprattutto mediante le guide d'onda, ovia tubi catodi in cui si guidavano dei modi; si usano anche per il progetto di elementi attivi.

Si inizia a parlare di elettronica delle microonde negli anni

170, in cui iniziò a prendere piede la tecnologia basata sul GaAs semiconduttore composto che ha consentito di sviluppare dei FET tali da generare segnali a frequenza elevata.

Questo permette di associare il nome "elettronica delle microonde" alla realizzazione di circuiti planari ad alta frequenza.

Verso gli anni '80 la tecnologia diventa ottima, ma il materiale e la trattazione restano molto costosi; per questo, si tratta di una tecnologia di nichia: si usa solo dove il Si non può arrivare.

Per l'ottimale potenza (kW) si usa ancora la guida d'onda.

A parte Si, per le alte frequenze si devono sempre usare materiali composti: GaAs, InP, e altri.

Di solito quel che si fa è prendere del GaAs e farci sopra il FET; date le minuziose dimensioni di un FET integrato (μm), esso è consideratamente più piccolo delle λ del segnale (a meno che non si vada sui 500 GHz o oltre) dunque gli elementi attivi si possono considerare a parametri concentrati; il substrato è fatto con un dielettrico di cui è fondamentale conoscere lo spessore d e la costante dielettrica ϵ_r ; i vari elementi saranno collegati tra loro mediante linee di trasmissione, sulle quali si proveranno determinati modi. Le linee possono anche essere usate per creare elementi induttori/capacitivi.

Parlare di parametri concentrati o distribuiti dipende dalla frequenza: si possono considerare (con qualche riserva) concentrici gli elementi con dimensioni inferiori a $\lambda_g/8$.

Non si hanno però solo problemi con i parametri distribuiti: un tratto di linea può concatenare del campo magnetico, o accumulare carica, ottenendo elementi parziali di tipo induttivo e capacitivo, di cui a microonde bisogna tener conto!

Come linea di trasmissione spesso si usa la microstriscia; di essa può essere problematica la realizzazione di corto circuiti: si dovrà bucare il substrato mettendone le pareti, collegando la linea al piano di massa.

Modificando W e d si può controllare la Z_0 ; si va subito in modo da avere un'impedenza dell'ordine di 50Ω .

Il substrato ha anche il compito di dissipare termicamente: le applicazioni principali che useremo sono infatti quelle di potenza (qualche watt), dunque il calore va smaltito. d è anche influenzato da questo fattore.

Sare un foro metallizzato è un problema non solo tecnologico, ma anche per il circuito: un buco è una cintura, in cui permaneggi dei modi risonanti; si hanno molte, indistinte parassiti.

Dove non si vogliono fori fori, si usa una tecnologia aperta: essa è ottima per le ultime frequenze, ma, il fatto di mettere "sopra" i piani di massa, porta a un più complicato progetto del layout.

Ultima nota la molla d'alimentazione: essa deve essere fortemente disaccoppiata dai "punti caldi" del circuito, ovvero dai punti in cui si propaga il modo a microonde; i punti dove

vi è l'alimentazione sono i "punti freddi" del circuito.

Microwave e basse frequenze devono poter "incontrare" solo con strettamente necessario, nella fattispecie nel gate dei FET.

Le filosofie di realizzazione sono dunque due: circuiti ibridi, realizzati su substrati dielettrici, per poi saldare gli elementi attivi nel circuito come package esterni.

I circuiti ibridi sono i più diffusi a microonde, perché, ovviamente, molto meno costosi. Tradizionalmente, per interfacce con l'esterno, si usano dei connettori; si tratta comunque di connettori "particolari", come SMA (che può arrivare a 18 GHz); essi sono realizzati mediante particolari configurazioni del dielettrico e della calza/fanima, che permettono di alzare la frequenza di multimodalità.

Torniamo al discorso di scelta di progettazione:

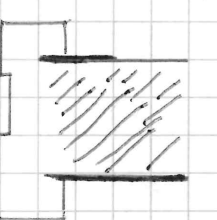
- Un progetto monolitico è molto miniaturizzato; si potrebbe pensare che il risultato sia ottimo, ma le spese sono alte, e il progetto non "intoccabile" dopo la produzione.
- Un progetto ibrido ha spazi più lunghi, ma "meno preteso"; i costi sono inferiori, e, data la possibilità di "intoccare", il risultato può essere migliore. Gli spazi "disponibili" sono maggiori.

Le saldature sono comunque elementi critici: esse daran luogo a problemi di vario tipo, dunque si cerca di evitare di metterle nei punti caldi, dove non necessario.

In sostanza, talvolta i monolitici si usano, ma praticamente solo per il grosso mercato, ovvero quando i costi non contano.

Interfacciare è un problema: quello che può capitare è che il modo può essere distorto all'interfaccia, dunque il modo deve essere consentito in uno reale come quello del cavetto, ottenendo tali perdite. Il filo viene soldato a pressione, e, in questo modo, si fa la connessione. Nella coplanare si ha generalmente una perdita inferiore, dal momento che essa introduce una minore discontinuità (un "salto meno brusco").

Osservazione finale, prima di entrare nei dettagli: sia nella coplanare, sia nella microstriscia, è possibile introdurre elementi discreti; essi possono essere messi in serie, "a cavallo" di due linee, o in parallelo; per la coplanare il parallelo non è problematico: basta collegare un capo a una massa; per la microstriscia può essere peggio: se si mette l'elemento sui bordi della striscia,



e si deve licenziare il dielettrico, con tutti i conseguenti problemi che ne scaturiscono.

Da ora si studieranno i vari elementi da usare per il progetto, sia a parametri concentrati sia a parametri distribuiti.

Dispositivi attivi a microonde

I materiali più usati per componenti attivi (transistor) sono i semiconduttori composti, di sintesi, "invertati a tandem": il più famoso è il GaAs: da un Es, maggiore del silicio, infatti è alla stregua di un isolante; dei materiali composti del III/V gruppo ve ne sono altri: InP, GaSb, e altri; intercalati soprattutto InP (fusione di indio, da 40 GHz in su), e il GaN (nitruro di gallio, materiale molto promettente). Molti di questi materiali sono già usati in optoelettronica, cosa utile al fine di far "crescere" la loro tecnologia.

Sono interessati ad alcuni aspetti: innanzitutto, la "velocità": i portatori devono avere una mobilità molto elevata, o comunque alta velocità di saturazione (dal momento che, nei dispositivi a canale corto, si usa questa velocità); fondamentalmente è dunque la caratterizzazione secondo la curva velocità-campo: gli spessori dei canali intercalati a vedere danno in più verso il massimo, per ragioni di potenza.

Per la potenza, un altro parametro interessante è l'energia app: maggiore essa è, minore sarà n_i , dunque maggiore la temperatura per cui n_i crescerà fino a divergere. Il problema è che il miglior materiale, il GaN, è molto indietro come tecnologia, e molto costoso (solo di recente è stato possibile ottenere dei bulk di GaN). Il silicio con la potenza non si può assolutamente usare: con il silicio vediamo qualcosa, ma non vediamo che possono essere delle "definitive".

FET

I primi dispositivi realizzati sono i FET, anche se, più recentemente, sono state elaborate soluzioni bipolarie. Quel che non è stato ancora possibile realizzare sono strutture MOSFET, a causa dell'impossibilità di deporre ossidi su GaAs o InP (per Si, infatti, si ha SiO_2). Quel che si può fare, in termini di FET sono i HESFET, e successive evoluzioni.

HESFET

Si tratta di un FET basato su di una giunzione Schottky fra il metallo costituente il gate e il semiconduttore. Dato un substrato semisilente, si fa crescere una zona n, mediante epitassia o impiantazione ionica. Si fa quindi un contatto di gate, che redirige la giunzione Schottky con il GaAs; in questo dispositivo poi si iniettano elettroni nel source, e si fanno uscire dal drain, mediante l'applicazione di una V_{DS} che genera un campo elettrico. Il canale si apre o chiude mediante la giunzione Schottky, che modula l'ampiezza della regione di saturazione. Lo spessore del canale conduttivo può cambiare al variare dello spessore della regione di saturazione, controllando la corrente nel canale. Lo spessore del canale regola la tensione di soglia del dispositivo. Tuttavia si impianta uno strato p preferito, per far in modo che il flusso di portatori non venga iniettato nel substrato, delocalizzazioni.

Esistono modi per rendere dispositivi "normalmente on" o "off", ma mi ricordo che i HESFET, per lavorare, devono avere la giunzione Schottky inversamente polarizzata.

Questa giunzione Schottky causa non pochi problemi al dispositivo, come ad esempio lo stato di breakdown: per entrare in la giunzione e di conseguenza il dispositivo entra in breakdown, si fa in modo da tenere "lontani" gate e drain; la giunzione va in breakdown perché, se la tensione di drain cresce troppo, V_{GS} aumenta, e si va in breakdown; allontanando fisicamente le zone si allunga il campo elettrico, aumentando la tensione di breakdown.

Quello che si fa è vocare il gate, facendo uno scan, per allontanare gate e drain, e meglio controllando lo spessore del canale, dunque la tensione di soglia V_{TH} . Il contatto di gate si fa "a fungo", per avere riduzione della larghezza, ma al contempo tiene bassa la resistenza parassita.

Vogliendo aumentare la corrente si potrebbe allungare il gate e il dispositivo allungando la metallizzazione di gate; ciò aumenterebbe la resistenza parassita. Per aumentare la corrente dunque quello che si fa è mettere tanti dispositivi "piccoli", in parallelo, per ottenere una corrente maggiore. Si parla di "dispositivi interdigitali". Spero, quando si parla di grosse dimensioni, ad esempio 1 mm, in realtà sono realizzati con "10 diti da 0,1 mm", in modo da non introdurre elementi parassiti.

HEMT

Il grosso problema dei vecchi MESFET è: per avere corrente, devo avere molto droggaggio, cosa che riduce la mobilità dei portatori; quello che si fa è sfruttare un'eterostruttura fra un materiale a

gap grande e uno a gap più piccolo (tipicamente, Al_xAs e GaAs); nel diagramma a fondo, questa cosa introduce delle discontinuità delle bande, che permettono in sostanza di drogare molto più di prima il lato sinistro, di snistare questo lato mediante una giunzione Schottky, dunque di mandare portatori (elettroni) al GaAs, dove il conseguente incumulo dei livelli fa il luogo a una buca di potere, in cui gli elettroni saranno intrappolati; questo sarà il canale conduttivo.

Dunque: realino questo contatto Schottky sull'Al_xAs, faccio in modo che quest'ultimo sia completamente snistato di elettroni, e in queste condizioni, mediante la variazione della tensione al gate cambio il campo nella regione snistata, dunque il campo all'interfaccia tra Al_xAs e GaAs, modulando la buca di potere e controllando il numero di canale ed loro intensità (controllo di corica).

Il sostanziale vantaggio di questa struttura sta nel fatto che i portatori liberi stanno in una zona non drogata, che dunque permette loro di avere elevate mobilità!

Lo spessore dello strato di Al_xAs inoltre non è legato alla tensione di soglia, o meglio essa è legata ovvero al numero di portatori liberi nel GaAs, dunque posso fare uno strato di Al_xAs sottile, aumentare dunque la transconduttanza del dispositivo, poiché il gate sarà più vicino al canale conduttivo.

Sinfine: è possibile aumentare V_{GS} sopra 0, a differenza del MESFET, in cui si polarizzerebbe direttamente la giunzione, poiché l'effetto di modulazione di canale ^{drogato} permette di più.

Unico problema: l'HEMT è un po' più delicato, sotto il punto di vista del breakdown.

Pensi sul PHEMT

Il PHEMT è una sorta di HEMT a doppietta heterostruttura:

si tratta di struttura in cui si mette uno strato a eg. elevata, uno più piccolo, e un altro elevato; il diagramma a destra è circa così: si vedrà già a livello tecnologico la buca di potere che si fa in modo da scegliere come materiale intermedio qualcosa a elevata mobilità, come InAlAs.

C'è un'altra nota: se lo spessore dello strato intermedio è piccolo, le proprietà cristalline del medesimo possono essere rovinate perché esso tende ad edottare dei cristalli dei materiali che lo affiancano, provocando, a causa di questo "stesa" un'ulteriore crescita della mobilità elettronica. Del fatto che lo strato è detto "pseudomorfico", si capisce lo "P" di PHEMT.

RF CMOS

Parlando di applicazioni del silicio, certo si può notare che i MOS si possono fare; inoltre, come si fa l'NMOS, così si può fare il PMOS; cosa che non si può fare con i materiali compatti, che hanno elevate mobilità elettroniche e perenne la curva.

Con i CMOS si può fare tanto digitale o, con le nuove tecnologie (90 nm, e in tondo sui 35), anche le prestazioni in frequenza

migliorano; per l'analogico, si arriva a qualche GHz.

LDNOS

Esiste un'altra fondamentale tecnologia basata sul silicio, non CMOS, più indicata per fare potenza (per quanto possibile): LDNOS.

Questi, per esempio, si usano per WLAN o cellulari.

Si tratta di un processo alternativo di lavorazione.

Un dispositivo, per generare potenza, deve avere tensione, un'alta tensione di breakdown, e avere una bassa resistenza interna (per dissipare poca corrente). Un MOS lavora di solito su una

zetta di carico così: nella zona del ginocchio. La resistenza del dispositivo vede qui è proprio la Ron. Per tener bassa Ron, bisogna fare il canale corto.

Dove però, al contempo, andare a tensioni elevate, cosa incompatibile con le dimensioni piccole, può causare il breakdown; per far convivere le due cose LDNOS ha il gate che forma un MOS nel substrato p solo dove c'è il p; per evitare che il campo diretto tagli elevato il dopogoto della regione n che va verso il drain dove essere basso, per ripartire il campo, dunque si inserisce una regione n+ diffusa lateralmente al canale, che viene seguita da una n e una n+ che tende ad attrarre il campo elettrico, mantenendo comunque corto il gate.

Problema della struttura: il drain presenta, per come è fatta la struttura, una resistenza potente.

BJT - HBT

La principale limitazione dei BJT è il fatto che la sua frequenza di taglio non arriva alle microonde, poiché la resistenza della base è elevata (R_{b}), e in serie con la capacità base-emettitore fa "tagliare" a frequenze basse.

Come si può abbattere R_{b} ? Beh, con le eterostrutture! Si redimensiona emettitore e base con materiali diversi, dai E_g diversi facendo in modo che $E_{\text{G}} > E_{\text{A}}$; si realizza un setto di banda che crea una barriera di potenziale che impedisce agli elettroni di tornare verso l'emettitore. Ciò permette di aumentare il dragaggio della base senza ridurre l'efficienza di emettitore.

A volte si realizza anche un'eterostruttura tra base e collettore, facendo crescere epitocialmente la base, in modo da avere uno spessore di base molto ridotto, e alla frequenza di taglio si ha di:

$$f_T = \frac{q_m}{2\pi r_n (C_{\mu} + C_{\alpha})}$$

Aumenta la q_m e così la frequenza di taglio.

Cioè allatteando il campo di breakdown; a tal fine si draga anche di meno il collettore, e si fanno danni artifici, quindi introdurre un sub-collettore.

Si usa mettere un doppio contatto di base per avere più corrente; la base è ad accrescere labile. Vi sono diversi etching affi a creare le finestre per i contatti.

Ci sono problemi per realizzare questo materiale: dragare molto un materiale lo rende difettoso, dunque per quanto la base sia sottile, è stato difficile restringere il processo.

Ora gli HBT si usano all'estensione, soprattutto per LNA, o amplificatori a elevato guadagno (date le elevate densità di corrente).

Una variante per la realizzazione degli HBT riguarda la struttura a SiGe: si tratta di una struttura più complicata, in cui si sostituisce la base con un materiale dalle proprietà tali da migliorare l'efficienza di emettitore. Il materiale è il SiGe.

L'emettitore è di polisilicio, dunque andando in quota si ha la base, collettore e subcollettore. Il SiGe ha problemi di scalabilità, dunque, dal bulk di Si, la crescita deve essere graduale, in modo da adottare i reticolati.

Una particolarità sta nell'isolamento fra un dispositivo e l'adiacente: "deep trenches": si scavano dei "buchi" riempiti di SiO₂, in modo da separare meglio i materiali. Purtroppo, ciò può solo essere fatto in silicio.

Cosa vorremo per il futuro? Beh, materiali tali da avere q_m più elevate, dunque maggiora velocità. Manca molto anche nel campo dell'alta potenza, in grado di dissipare di più la temperatura.

Come già detto, a tal fine, candidi sono i materiali a gap elevato.

Anche la conducibilità tenuta è un parametro importante, per la temperatura; se dissipino meno potenza significa poter molti avere meno componenti, e magari se il materiale dissipasse

il calore, allora posso mettere tanti dissipatori vicini, e dunque avere più area disponibile (si parla di "die", ossia di sotto-circuiti montati sul chip).

Elementi passivi concentrati

Come è difficile fare gli elementi attivi, così è anche per i passivi, specialmente quelli concentrati: i parametri passivi sono essere così importanti, per certe frequenze da modellare il reale comportamento del componente.

I componenti a parametri concentrati sono importanti poiché, per f dell'ordine del GHz, λ è dell'ordine del cm, dunque per un circuito monolitico, usare linee di trasmissione è fuori discussione; nei circuiti ibridi più già, ma non è comunque detto, essere plausibile.

I componenti concentrati possono essere realizzati:

- o direttamente su substrato mediante crescita di film (spesso la scelta migliore)
- o mediante package esterni (cora esclusa, per integrati).

I package sono spesso in SMD.

Resistori

Possessiamo ora alcune idee:

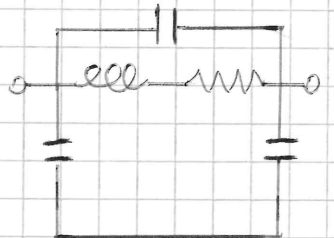
- resistori a film: si possono fare sia su semiconduttore sia su dielettrico, depositando un film di materiale resistivo tra le piste conduttrici. Devono avere resistenza costante con la temperatura (stabilità termica).
- struttura MESA: accrescere epitetivamente uno strato drogato e tagliarlo, dunque si ottiene il resistor. È più preciso.

Per valori di resistenza più grandi si è costretti a usare package, da soldare sul circuito. Ve ne sono di diversi tipi: non scrivo mm. 3x38 (perdipi induttori).

Si tratta ancora una volta di elementi difficili da realizzare: da un lato ed alle frequenze si sa che serve (di solito) induttore piccole, ma dall'altro è veramente difficile, se serio, fare valori elevati. L'idea è: se considero un tratto di pista, questa autocatena la corrente, inducendo; volendo aumentare il valore dell'induttanza, posso fare spirale, in modo da aumentare il concatenamento. Problem:

- Le piste sono fatte di metalli, conduttrice non ideale, dunque hanno una resistenza parallela serie;
- Le piste sono costituite di una microstruttura, dunque c'è la capacità di la pista fa con il piano di massa;
- Possono esserci piste sovrapposte, che danno luogo a capacità serie;

In pratica, al posto di un induttore, mi ottengo un resonatore: per un certo range di frequenze si comporta bene, per altre va in ressonanza e non fa più il proprio mestiere.



Di un circuito, gli induttori sono probabilmente gli elementi che occupano più spazio.

Saranno strutture di scatola (air bridge): essi si realizzano non direttamente in serie, ma inoltre la prima pista, un dielettrico, la seconda pista, dunque si scava via il dielettrico per ridurre la capacità parallela.

In silicio gli induttori vengono particolarmente male, perché, in generale, si fanno su di un arco (Si₂), ma ciò rendente esso donna enormi perdite, dunque avremo un fattore di qualità molto molto basso. Si han comunque capacità parassite infatti che degradano il fattore di qualità.

Negli ultimi anni c'è il nano-machining, che sta permettendo di ledimento struttura 3d (non in tecnologia planare, e migliorare la condinone).

Per altre induttori (π e nff), utili soprattutto per loro duracapimento DC, non è ancora una volta costretti a ricorrere a packages esterni.

Condensatori

Un poco più semplici sono i condensatori: si può costruire i film (interdigitati), o le capacità parassite; fatto sta che anche questa volta, i circuiti equivalenti sono dei usonatori (precocemente negativi agli induttori).

Una soluzione è quella di usare i MIM (metallo - isolante - metallo), dove la capacità si regola con le dimensioni.

Anche, quando si vogliono i nf, tocca usare i package.

Componenti passivi distribuiti

Esistono diversi tipi di linee di trasmissione, una di conduttori atti a guidare il campo elettromagnetico. A seconda della loro geometria, o del dominio interno (caso chiuso da un conduttore), possono propagarsi diversi modi: se sia E sia H sono ortogonali alla direzione di propagazione è in lo un modo TEH; essendo

anche guide TE, o TM.

Dal momento che questo argomento è già stato largamente approfondito in altri corsi, si toccheranno in dettaglio solo alcuni argomenti, a parere mio più degni di nota.

Esiste, per la rappresentazione matematica delle linee, il modello detto "equazioni dei telegrafisti": si tratta di equazioni differenziali ordinarie del I° ordine. Data la definizione dei vari parametri, permette di ottenere un circuito a parametri distribuiti. La soluzione di queste è composta da una coppia di onde: progressiva, e regressiva.

Propagare linee non è banale: esse sono, spesso, molto dispersive, dunque si danno alla luce di tali problemi. Non è tutto: al di sopra di una certa frequenza la guida fa propagare più di un modo alla volta, cosa negativa per noi.

Se modo TEM è molto interessante: se si hanno almeno due conduttori, immersi in un dielettrico omogeneo, si può avere il modo TEM; per esso esiste una rappresentazione mediante linee dei telegrafisti, in funzione dei parametri L, C.

La microstruttura e la coplanare sono linee quasi-TEM: il dielettrico che arreda i conduttori non è trasversalmente omogeneo: una parte del campo infatti è sull'aria, una parte nel dielettrico; se ne parlerà meglio in seguito.

Prima di parlare un poco più nel dettaglio della microstruttura, proponiamo una breve trattazione sulle perdite.

Si consideri la costante di propagazione $\gamma = \alpha + j\beta$ (sebbene

semplicemente per $j\kappa = j\beta + \delta$). Dalla teoria, risolvendo le equazioni dei telegrafisti, si trova che:

$$\gamma = \sqrt{(jwL + R)(jwC + G)} = V_{jwL} V_{jwC} \sqrt{1 + \frac{R}{jwL}} \sqrt{1 + \frac{G}{jwC}}$$

Sviluppando il prodotto e mantenendo solo i termini lineari, si ottiene:

$$\begin{aligned} \gamma &\approx \sqrt{-w^2 L l} \left(1 + \frac{R}{2jwL} \right) \left(1 + \frac{G}{2jwC} \right) \approx \sqrt{-w^2 L l} \left(1 + \frac{1}{2} \frac{R}{jwL} + \frac{1}{2} \frac{G}{jwC} \right) \\ &= jw\sqrt{Ll} + \frac{R}{2} \frac{\sqrt{Ll}}{L} \frac{jw}{jw} + \frac{G}{2} \frac{\sqrt{Ll}}{jwC} = jw\sqrt{Ll} + \frac{R}{2Z_0} + \frac{G}{2Z_0} \end{aligned}$$

Per quanto riguarda Z_0 :

$$Z_0 = \sqrt{\frac{jwL + R}{jwC + G}} \quad \text{per } w \rightarrow \infty, Z_0 \rightarrow Z_0 \text{ ideale}$$

A questo punto, un'osservazione: noi ci occupiamo di macchina, dunque di w elevatissime; queste relazioni, tuttavia, valgono anche a frequenze più basse.

Il regime che usiamo sempre è quello di alta frequenza, ossia $w \rightarrow \infty$; in tal occasione, si può considerare anche che Z_0 reale. Nello stesso modo, si può dire che il termine in w di γ è molto grosso; a frequenze più basse c'è un regime "intermedio", in cui si può trascurare G , ma non R , sia in Z_0 sia dalle altre parti; ne consegue una linea fortemente dispersiva, dove dunque γ dipende fortemente da w .

Nei sistemi come detto qui sopra sempre in regime di alta frequenza,

si ha un po' di dispersione (γ normale da B dipende linearmente da L), ma non che si abbiano svilimenti estremi. La linea in alta frequenza diventa dispersiva perché i termini di periferia sono dissipativi: la linea, in questo regime, è decisamente dispersiva.

Linea quasi-TEM: anche nel caso di linee quasi-TEM si può usare il modello "linea dei telegrafisti", ma c'è qualche differenza: le grandezze L e C saranno un poco diverse. C'è però, comunque in frequenza per cui la linea non è dispersiva: solo modo TEM!

Ora: per la struttura quasi-TEM, che si può fare? Sappiamo che la microstruttura ha un piano di massa, un dielettrico di costante ϵ_r , la linea, e tutto ciò è circondato da aria.

Cosa si possa calcolare L e C ? Beh, confrontiamo una struttura simile, in aria: $\epsilon_r = 1$. Siccome i materiali dielettrici di solito ^{non} sono magnetici, poniamo che lo sia: piana; questa a sua volta può farci supporre che le induttanze per unità di lunghezza delle due strutture ($\epsilon_r = 1$) sono uguali.

Se la struttura è in aria, $V_f = C$, dunque:

$$L_{aria} = C^2 \cdot R_{aria}$$

Ma, dunque, posso anche dire che C sia legata a C mediante una "costante dielettrica efficace", che sarà un mix tra ϵ_r e L .

Dovrò dunque confrontare ϵ_0 e σ_0 , e il loro rapporto sarà ϵ_{eff} .

Si pensino fare considerazioni come:

$$Z_0 = \frac{L}{C} = \frac{1}{\epsilon_0 \mu_0 l}$$

In realtà qui si tiene comunque conto delle questioni geometriche: a seguito delle dimensioni, L e C cambiano, e Z_0 di conseguenza! Queste dimensioni vanno progettate anche tenendo conto della potenza da dissipare, e della tensione (che forse non è verosimile picco V_{pk} ma quella rms).

Dispersione in frequenza

Affibbiato dunque con struttura quasi-TEM ad alte frequenze si hanno comportamenti di tipo dispersivo: dopo una certa ragione in cui l'andamento è "piatto", gli effetti iniziano a crescere. Si parla nella fattispecie di una frequenza, detta "frequenza di inflessione", per cui si ha un marcato aumento di E_r . La cosa positiva è che sopra questa frequenza è nei paraggi della frequenza di innescio del primo modo superiore, quindi, ormai di stai fuori dalla multimodalità, si sta tranquilli anche sotto questo punto di vista.

Tenere conto della dispersione non è facile: di fatto nelle numerazioni se ne tiene conto, ma tanto di guadagnato.

In realtà il range di frequenza in uso è quello di "alta frequenza": siamo sopra il "range intermedio".

Esistono due tipi di perdite: perdita "secca" (legata al conduttore)

e perdite parallelo (legate al dielettrico); tra le perdite secca vi sono perdite ohmiche, legate alla resistenza del conduttore.

Ciò che bisogna fare è tenere conto della distribuzione della corrente nel conduttore: essa, ad alte frequenze, tende a essere distribuita solo su di una corona circolare attorno al conduttore.

Il principale parametro per quantificare le perdite da effetto pelle è δ , ovvero la profondità di penetrazione per effetto pelle.

Si consideri la seguente equazione di Maxwell:

$$\nabla \times H = j\omega E + \sigma E = j\omega E \left(E + \frac{\sigma}{j\omega} \right) = j\omega \tilde{E} E$$

Tenendo conto della condutività σ è stato possibile definire questa \tilde{E} equivalente. Veramente, nella teoria delle linee:

$$K = \omega \sqrt{\mu \tilde{\epsilon}} = \omega \sqrt{\mu} \left(E + \frac{\sigma}{j\omega} \right)$$

Considerando che il vero deve essere un buon conduttore, $\sigma \approx 10^7$, dunque al termine predominante è il secondo:

$$\approx \omega \sqrt{\mu} \frac{\sigma}{j\omega} = \sqrt{-j} \frac{\omega}{\mu} \sigma \quad \text{ma } \sqrt{-j} = \frac{1-j}{\sqrt{2}}$$

$$\Rightarrow K = \frac{1-j}{\sqrt{2}} \frac{\omega}{\mu} \sigma = \beta - j \alpha \quad (\text{dove } \alpha = \beta)$$

Si definisce ξ così:

$$\xi \equiv \frac{1}{2} \sqrt{\frac{1}{2} \frac{1}{\omega \mu \sigma}}$$

Allo stesso modo, si può ragionare su ξ :

$$\xi = \sqrt{\frac{\mu}{\epsilon}}$$

Ricercando di porre in relazione K e ξ , si vede che:

$$K = \sqrt{\mu \epsilon} \omega \rightarrow \frac{\kappa}{\epsilon_0} = \sqrt{\frac{\mu}{\epsilon}} \quad (\text{ricordo che } \epsilon \approx \frac{\sigma}{j\omega})$$

$$\rightarrow \frac{1-j}{\sqrt{2}} \frac{\omega}{\mu \sigma} \cdot \frac{\sigma}{j\omega} = \xi = (1+j) \sqrt{\frac{\mu}{2\sigma}}$$

Cosa ci dice ciò? Beh, fino a qui, sapendo che gli andamenti dei modi segnano degli esponenti, si può dire che γ è una sorta di "costante di spazio", indicando la decrescita dei campi con il muoversi nel dielettrico. ζ quantifica la resistenza opposta, per questo effetto pelle (o "pellicola").

Questa idea è stata proposta a partire dalla teoria delle linee. Vediamola applicata a qualcosa di più "pratica".



Si consideri un conduttore rettangolare di conduttilità σ e spessore t , larghezza w . Supponendo che non vi siano variazioni sulla dimensione trasversale (y e z), si può studiare il meccanismo in frequenza.

Le equazioni di Maxwell che modellano il problema sono:

$$\nabla_x H = j\omega \mu E + \partial_t E$$

$$\nabla_x E = -j\omega \mu H$$

$$\nabla \cdot H = 0$$

$$\nabla \cdot E = 0 \quad [\text{considerando che non ci sono densità di carica}]$$

Ora, veniamo uno dei passaggi clamorosi: calcoliamo il valore della seconda ~~seconda~~ equazione:

$$\begin{cases} E = E_2 \\ E_2(\pm t/2) = E_0 \end{cases}$$

$$\nabla_x \nabla_x E = -j\omega \mu \nabla_x H = -j\omega \mu [j\omega E] - j\omega \mu \partial_t E \approx -j\omega \mu \partial_t E$$

Quindi, data l'approssimazione di "thin conductor". Dell'andamento vettoriale, si sa che:

$$\nabla_x \nabla_x E = \nabla (\nabla \cdot E) - \nabla^2 E \quad [\text{Ma } \nabla \cdot E = 0]$$

$$\nabla_x \nabla_x E = -\nabla^2 E$$

Due osservazioni: si consideri E solo come componente verso \hat{x} :

$$E = E_2$$

$$\nabla^2 E = -j\omega \mu \partial_t^2 E$$

$$\text{Da qui, } \frac{\partial^2}{\partial x^2} = \frac{\partial^2}{\partial z^2} = 0 \quad \text{per simmetria}$$

$$\nabla^2 E_2 = j\omega \mu \partial_t^2 E_2$$

Ora, per usare questa equazione potremmo o volentieri applicare le condizioni al bordo, o notare che, date le simmetrie di dominio e condizioni al bordo,

$$E_2(x) = E_2(-x)$$

Essendo questa una ODE di secondo ordine, la soluzione generale sarà:

$$E_2(x) = A_0 \exp(+\lambda x) + B_0 \exp(-\lambda x)$$

$$\nabla E_2(x) = A_0 \exp(\lambda x) + B_0 \exp(-\lambda x) = A_0 \exp(-\lambda x) + B_0 \exp(\lambda x)$$

$$\Rightarrow A_0 = B_0$$

Allora:

$$E_2(x) = \frac{A_0 \exp(\lambda x) + A_0 \exp(-\lambda x)}{2} = 2A_0 \cosh(\lambda x) = A \cosh(\lambda x)$$

Dato che A è una costante da calcolare, si moltiplica il 2.

Per estesa, ricordando come è stato definito S , lo si applica:

$$E_2(x) = A \cosh\left(\frac{\lambda}{S} x\right)$$

Sinfine, si vede che:

$$E_2\left(\frac{t}{2}\right) = E_0 = A \cosh\left(\frac{1+i}{8} \frac{t}{2}\right) \rightarrow A = \frac{E_0}{\cosh\left(\frac{1+i}{8} t\right)}$$

$$\hookrightarrow E_2(x) = E_0 \frac{\cosh\left(\frac{1+i}{8} x\right)}{\cosh\left(\frac{1+i}{8} t\right)}$$

Recuperiamo una delle Maxwell:

$$\nabla \times \vec{E} = -j\omega \mu \vec{H}$$

Svolgendo il calcolo, tenendo conto del fatto che la variazione è solo lungo x , e che $E_x = E_0 \neq 0$, risulta evidente che \vec{g} è l'unico verso per cui esiste una componente; inoltre quindi, che $\vec{H} \cdot \vec{g} = H_y$!

$$H_y = \frac{\partial E_2}{\partial x} \frac{1}{j\omega \mu}$$

Dovendo l'espressione prima usata:

$$H_y = \frac{1}{8t+j} \sqrt{20} \frac{\sinh\left(\frac{1+i}{8} x\right)}{\cosh\left(\frac{1+i}{8} t\right)} E_0$$

Per calcolare la corrente, calcoliamo la circurazione di H_y :

$$\oint H_y dl = \omega H_y\left(\frac{t}{2}\right) - \omega H_y\left(-\frac{t}{2}\right) = 2\omega H_y\left(\frac{t}{2}\right)$$

Questa funzione fornisce precise indicazioni dell'andamento della corrente tenendo conto dell'effetto pelle di μ_f , ecc.

Dalle espressioni delle linee avevamo trovato anche elementi nello (la parte immaginaria di \vec{g}), nella fattispecie induttori; questo deriva dal fatto che in un'induttanza "interna" al conduttore poiché il fatto che la corrente ha questi andamenti permette di concatenare senza all'interno flussi di corrente. Da sì "esterno" è

quella risultante calcolata nei casi ideali! Quella interna però ha un andamento "periodico", poiché quando si va troppo su di frequenza, la corrente si riduce troppo e si perde anche il flusso magnetico, dunque l'induttanza interna tende a ridursi all'ammontare troppo della frequenza.

Meno il dielettrico, ovviamente, essendo non ideale, ha delle perdite. Esse sono tenute in conto mediante il parametro $\tan \delta$ (dove δ non è la profondità di penetrazione!)

A seconda del materiale, sarà massimo ricavare il $\tan \delta$. Il silicio, che è un perfetto isolante, ha molte perdite.

In microstrutture, la parte dissipativa è modellata da $\epsilon_{eff}(f)$; esistono formule in grado di tener conto di questi andamenti, anche se cosa hora è d'uso ricadere i grafici (fig. 11) per avere qui la "grana intera" del funzionamento, si può comunque usare un simulatore elettronico.

Altre note?

Parametri Scattering

I 5 parametri scattering sono interessanti per l'elettronica delle microonde, non tanto (ma anche) per la presenza di linee di trasmissione, quanto per la caratterizzazione dei dispositivi attivi. Rispetto alle matrici Z, I, Y , la matrice S ha un grosso vantaggio: il primo problema dei dispositivi a microonde è il fatto che studiare su un circuito chiuso o su un circuito aperto è molto difficile, poiché realizzare questi condizioni è problematico, a causa dei parametri parassiti (induttanze e capacità). Tuttavia, anche risarcendo, questi condizioni si comportano come tali solo a una certa frequenza (in banda stretta).

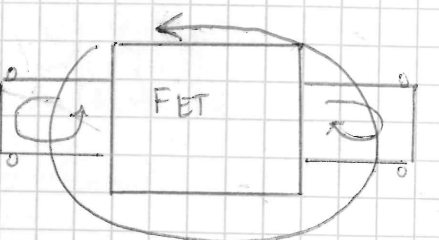
Se si può fare molto più facilmente è adesso i radiofrequenzisti chiamano "adattamento": realizzare dei condizioni restringenti.

Non è l'unico problema: i dispositivi a microonde sono open system ed altimino quadri, (dunque), per essere abbastanza attivi anche a frequenze dell'ordine delle decine di GHz. Il problema è che dunque (come appena detto) i quadri in bassa frequenza sono enormi, e condizioni "pericolose" come il chiuso o l'aperto sono i peggiori per la stabilità dell'amplificatore.

Non è tutto: se prende un FET e lo

studi su corto come in figura,

si creano dei loop di potenza sia
alle porte ma tra le due porte.



Questa è molto pericolosa, poiché si vengono a creare oscillazioni, non innorate, dal momento che i dispositivi sono

A parte questi aspetti, dal momento che i dispositivi sono concentrati su le linee no, farà utile poter parlare "facilmente" con le linee di trasmissione.

Ora, bisognerà fare un discorso un po' particolare: cos'è la rappresentazione scattering di un dispositivo a parametri concentrati?

Quello che faremo ora è introdurre una rappresentazione formale matematica, che poi vedremo essere, a certe condizioni, collegata con la teoria delle linee di trasmissione.

Dato un n-ponte lineare qualunque per cui si possono definire termini e correnti su ciascuna porta, si vorrebbe introdurre questa rappresentazione.

Per ogni porta si sceglie anteriormente (ne parliamo più in dettaglio) una Z_{0K} , una un'impedenza di riferimento per la K-esima porta.

In sceglie di usare la seguente trasformazione lineare:

$$\Delta K = \frac{V_K + Z_{0K} I_K}{2 \operatorname{Re}\{Z_{0K}\}} \quad ; \quad b_K = \frac{V_K - Z_{0K} I_K}{2 \operatorname{Re}\{Z_{0K}\}}$$

Per questa volta abbiamo explicitato ma, d'ora in avanti, scriviamo Z_{0K} solo red: $Z_{0K} = R_{0K}$. ΔK e b_K si chiamano "onda progressiva"

e "onda regressiva" ma, per ora, si tenga ben presente che di onde non ce ne sono: per ora all'incirca solo attuale un concetto di base, senza significato fisico!

Ovviamente, le trasformazioni sono invertibili, e si possono trovare V_K e I_K funzioni di a_K e b_K .

Una nota: si richiede un calcolo con la radice quadrata di qualcosa: la parte reale della impedenza di riferimento deve dunque essere, essere ormai positiva!

Quel è la potenza associata alla Kestina porta? Beh, dal l'Elettrotecnica, si sa che:

$$P = I_R \{ (a_K + b_K)(a_K^* - b_K^*) \} = |a_K|^2 - |b_K|^2$$

Questo, deriva da una semplice inversione delle trasformazioni:

$$V_K = (a_K + b_K) \sqrt{Z_{0K}} \quad ; \quad I_K = \frac{a_K - b_K}{\sqrt{Z_{0K}}}$$

Ora, ci chiediamo: che c'entra tutto ciò con le linee di trasmissione, con i circuiti a parametri distribuiti? Beh, della soluzione del modello "linee dei telegrafisti", sappiamo di avere che si hanno molte similitudini: il calcolo della potenza, la presenza dei termini anche lì denominati "onde", e così via. Purtroppo lì di onde ha senso: essendo a parametri distribuiti, si ha in effetti una propagazione dello stato elettrico (che si ricava essere dipendente da espansori), secondo onde, che nella matrice scattering ha dunque significato fisico. Le linee di trasmissione hanno però anche un'altra peculiarità: la "impedenza di riferimento", termine che deriva dalla soluzione delle equazioni d'onda. Questo, nella matrice scattering "in verso bidimensionale", è usato come "impedenza di riferimento".

L'è ci guida verso la risposta alla domanda precedentemente

postata: se mi scelgoio quindi le impedenze di riferimento secondo cui si definiscono i parametri scattering e le linee che comunicano con il dispositivo, si può dire che a_K e b_K coincidono con i bassi progressivi e regressivi della linea di trasmissione.

Solo es solo se la Z_{0K} della matrice scattering coincide con quella di riferimento della linea, dunque, le "onde" acquisiscono un significato fisico!

Ora: se ho per esempio un FET, e devo caratterizzarlo, potrei usare qualsiasi impedenza di riferimento, per calcolare e misurare i parametri scattering; posso però scegliere in modo fisico questa impedenza di riferimento per esempio 50Ω: l'impedenza a cui più o meno tutto ciò che è radiotecnico funziona! In questo modo, sarà più facile "interfacciare" l'oggetto, dove alle a_K e b_K il significato fisico che ci fa comodo dare!

È possibile passare da una rappresentazione come $\underline{\underline{Z}}$ a $\underline{\underline{S}}$, e viceversa; vediamo come, in un esempio.

In forma vettoriale:

$$\underline{\underline{Z}} = [a_1, a_2, \dots]^T \quad ; \quad \underline{\underline{b}} = [b_1, b_2, \dots]^T \quad ; \quad \underline{\underline{R}_0} = \text{diag} \{ R_1, R_2, \dots \}$$

Dall'Elettrotecnica, sappiamo che:

$$\underline{\underline{V}} = \underline{\underline{Z}} \underline{\underline{I}} \quad ; \quad \text{ma, anche, le trasformazioni generalizzate:}$$

$$\begin{cases} \underline{\underline{V}} = \underline{\underline{R}_0}^{1/2} [\underline{\underline{a}} + \underline{\underline{b}}] \\ \underline{\underline{I}} = \underline{\underline{R}_0}^{-1/2} [\underline{\underline{a}} - \underline{\underline{b}}] \end{cases}$$

Ora, unisce un po' di trucchi e sostituiamo $\underline{\underline{V}} = \underline{\underline{Z}} \underline{\underline{I}}$:

Fare gli esercizi sullo slide

$$R_0 \stackrel{1/2}{=} \left[\frac{a+b}{2} \right] = \stackrel{-1/2}{=} R_0 \left[\frac{a-b}{2} \right]$$

Dunare;

$$\underline{a} + \underline{b} = \underline{\underline{R}}^0 \stackrel{-1/2}{=} \underline{\underline{R}}^0 \stackrel{-1/2}{=} [\underline{a} - \underline{b}]$$

Si può ricevere raccomandazioni e b

$$\frac{b}{2} \left[\frac{R_0}{2} - \frac{R_0}{2} + \frac{5}{2} \right] = a \left[\frac{R_0}{2} - \frac{R_0}{2} - \frac{5}{2} \right]$$

Dunne:

$$b = \left[R_0^{-1/2} - \frac{z}{2} R_0^{-1/2} - \frac{\gamma}{2} \right]^{-1} \left[R_0^{-1/2} - \frac{z}{2} R_0^{-1/2} + \frac{\gamma}{2} \right]^{1/2}$$

ζ

Questa è la trasformazione lineare che permette di passare da \mathbb{R}^3 a \mathbb{S} .

(Questi allo stesso modo si possono trovare le altre relazioni).

Corre tutto per le funzioni per ciascuna arte, n'è più calidore

La potenza dissipata dall'intero dispositivo come:

$$P_d = \sum_{i=1}^n \left[|a_i|^2 - |b_i|^2 \right] = \left[\underline{a}^T \underline{a}^* - \underline{b}^T \underline{b}^* \right] - \underline{\underline{a}}^T \begin{bmatrix} S & -S \\ -S & S^* \end{bmatrix} \underline{\underline{a}}^*$$

Da qui discendono le varie proprietà della matrice S .

Alcune note: vi sono alcune grandezze dotate intrinsecamente di significato fisico, che cioè, indipendentemente dalla zona rotata, non cambiano. Una di queste è la potenza, altre sono l'impiego totale e il rendimento totale: esse esistono e sono ben definite indipendentemente da Zon . I σ Sij, al contrario, sono parametri che dipendono da Zon ! ciò che permette capire dunque è il fatto di avere esattamente di conformità: se scegli ad esempio

per un canco, $R_{\text{on}} = 2L$, uscita che $T_1 = T_2$ questa

Cosa non ci dice però che $b = 2$, a meno che Ron non

ma anche risponde all'impedenza caratteristica dell'eventuale linea collegata al carico! Solo in questo caso, l'adattamento di conformità è anche un adattamento energetico o di uniformità! L'adattamento di conformità è solo formale: non ha, tendenzialmente, significato fisico.

Consideriamo un ultimo elemento: un generatore di terreno, di corrente e di onde impresse.

Sarà grande infatti, le espressioni degli n-potere autonomi (che hanno al loro interno generativi di tempo o di colore) possono essere del tipo:

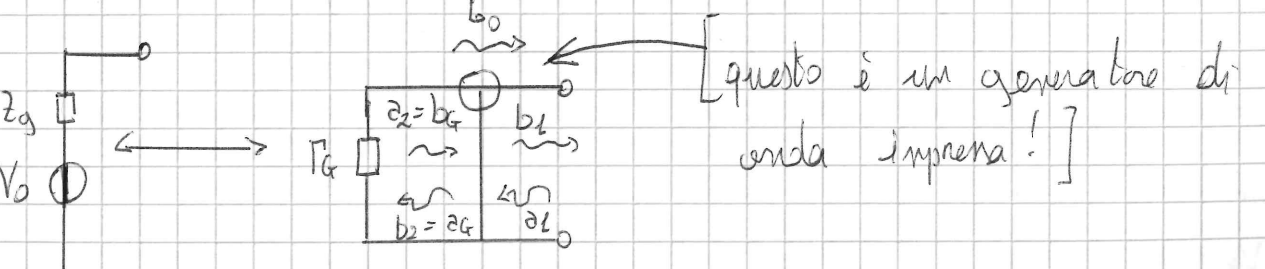
$$\underline{V} = \underline{\underline{I}} + \underline{V_0} \quad ; \quad \underline{I} = \underline{\underline{Y}} \underline{V} + \underline{I_0}. \quad ; \quad \underline{b} = \underline{\underline{a}} + \underline{b_0}$$

(abservative formule) (gen. corrente) (gen. onde)

Cosa capita? Beh, ora dovremo tener conto di questi generi di grandezze "imprese".

Eystol, come per le espressioni "emogenee", formule per convertire le matrici che han anche generati impren (ad esempio, da $\begin{smallmatrix} z \\ \bar{z} \end{smallmatrix} + \begin{smallmatrix} v_1 \\ \bar{v}_1 \end{smallmatrix}$ a $\begin{smallmatrix} z \\ \bar{z} \end{smallmatrix} + \begin{smallmatrix} b_1 \\ \bar{b}_1 \end{smallmatrix}$), ricavabili con le stesse idee di prima. (Provare)

Consideriamo per esempio questa equivalenza:

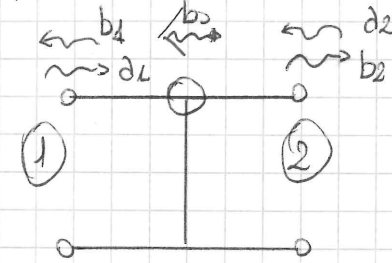


A livello pratico, si usa questo 2-porta, detto "generatore di corrente impressa", per correttamente il circuito a sinistra mediante

parametri \leq i questi dispositivo si comporta secondo queste

equazioni:

$$\begin{cases} b_2 = a_2 \\ b_1 = a_2 + b_2 \end{cases}$$



Si ha continuità delle onde, se non per il fatto che, in b_2 , si ha (data la convenzione di questo disegno), oltre a a_2 , questo b_0 .

Al posto di z si usa il 1 , per lavorare sul "Somma delle onde", nella "base" a, b .

Ora, se facciamo la dimostrazione per pensare con le matrici da V_0 a b_0 , e schiammiamo, troveremo che:

$$b_0 = \frac{\sqrt{R_0}}{z_0 + R_0} V_0$$

Un blocco scattering generico può essere pensato come un blocco non autonomo, più un generatore impresso che risponda.

Ora ci chiediamo: come si può fare per "misurare" o "calcolare" i parametri della matrice \leq ? Beh, si sa che:

$$S_{ij} = \frac{b_i}{a_j} \Big|_{\Delta K=0, V_K \neq j}$$

Dunque, ciò dice che si dovranno annullare tutte le onde incidenti, tranne la j -esima; per far ciò, è necessario avere, per ciascuna K -esima porta, che:

$$V_K = -R_{0K} I_K$$

Ora, si divide la porta sulla resistenza di normalizzazione, ottenendo la condizione di edattamento di uniformità.

Sulla porta j -esima invece serve un generatore di tensione, o di corrente; una nota è che, se si usa un generatore di tensione, conviene che la sua resistenza interna coincida con quella di normalizzazione; riprendendo il legame tensione impresa - onda impresa, infatti, se $Z_G = R_0$, si ha:

$$b_0 = \frac{\sqrt{R_0}}{z_0 + R_0} V_0 = \frac{\sqrt{R_0}}{2 R_0} V_0 = \frac{V_0}{2 \sqrt{R_0}}$$

E poi come ipotizzato le porte sono chiuse sulla propria R_{0K} di riferimento,

$$b_K = \frac{2 V_K}{2 \sqrt{R_{0K}}} = \frac{V_K}{\sqrt{R_{0K}}} = \frac{V_K}{\sqrt{R_{0K}}}$$

In questo modo, b_K è legato al fasore della tensione sulla porta K ; vero, nella realtà, potrebbe essere misurato mediante un voltmetro rettificato!

Tenendo infine conto che, sulla porta j -esima (quella alimentata), si ha:

$$a_j = b_G$$

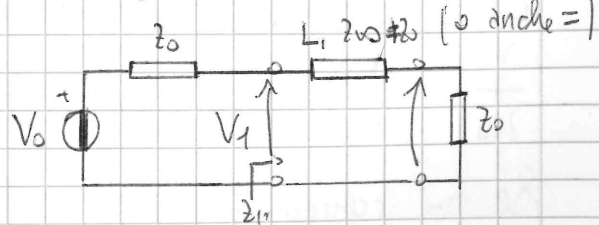
Poss calcolare S_{ij} così:

$$S_{ij} = \frac{b_i}{a_j} = 2 \frac{V_i}{V_j} \sqrt{\frac{R_0}{R_{0j}}} \quad \begin{array}{l} \text{questa formula è} \\ \text{fondamentale!} \end{array}$$

Una "varianta" su questa formula: considerando di aver fatto esattamente scelto $R_{0j} = R_{0i}$, possiamo dire:

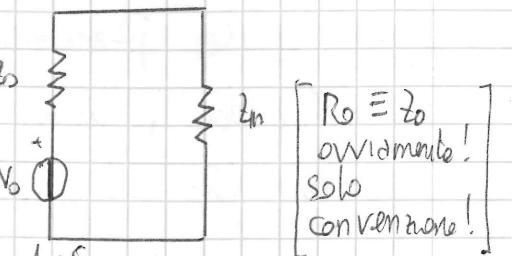
$$S_{ij} = 2 \frac{V_i}{V_j} = 2 \frac{V_2}{V_0} = 2 \frac{V_2}{V_1} \frac{V_1}{V_0}$$

$$\text{Tenendo presente che: } \Gamma_1 = S_{11} = \frac{Z_{in} - Z_0}{Z_{in} + Z_0}$$



Si può dire, invertendo, che:

$$Z_m = \frac{1+s_{11}}{1-s_{11}} R_0 ; \text{ ma, guardando il circuito equivalente:}$$



$$Z_{in} = (R_0 + j\omega L) L = R_{LINEA} + j\omega L_{LINEA} \quad \begin{bmatrix} \text{dal momento che le} \\ \text{cali grafiche sono p.u. l.} \end{bmatrix}$$

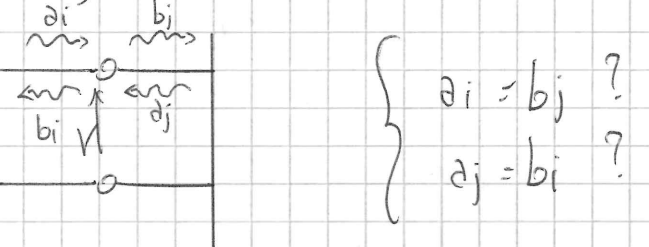
Inoltre, di solito,

$R \ll L$

Dunque, in sostanza, con una linea molto corta chiusa in corto, si ottiene un'induttanza!

Questo è un esempio di come si può operare; comunque, non è l'unico modo.

Passiamo alla convenzione in cascata di blocchi



Usando le onde di potenza, avendo la nostra definizione solo formale, non possiamo dire che $a_i = b_j$, o che $a_j = b_i$! Questo, a meno che le onde non siano riferte alla stessa impedenza. La tensione ha ancora un significato fisico, e la tensione V è uguale, mentre le correnti sono uguali e opposte. Sto legando le onde alle grandezze finché si può trovare quell'equazione di continuità, a meno che le impedenze non siano tutte corrette (uguali!).

Quando però si studiano blocchi in cascata, l'idea migliore è quella di usare le matrici di trasmissione! caro ese, la cascata è esprimibile in termini di prodotto matriciale!

AMMDO?

Se poi concordo su $Z_L=0$, ottengo:

$$\frac{Y}{Z_0} \cdot g + j\omega L$$

Se poi concordo su $Z_L=0$, ottengo:

Accoppiatori direzionali

Un accoppiatore direzionale è un dispositivo che impone un preciso rapporto di potenza tra due porte, e la terza resta isolata.

Ricapitolando, ingresso in una porta, l'uscita si sposta fra una porta (trasmissione) e un'altra (accoppiata), quindi un'ultima è isolata.

Questo potrebbe sembrare un semplice divisorio di potenza, ma in realtà è qualcosa di più: oltre a ripartire la potenza, esso introduce un preciso rapporto di fase tra ciò che è trasmesso e accoppiato.

Questa cosa è utile per realizzare segnali differenziali, dunque per ottenere amplificatori differenziali ad alta frequenza.

Si parla di accoppiatori ibridi se accoppiano a 3 dB, ma se dividono la potenza in due parti. Ovviamente esistono accoppiatori con fattore di accoppiamento anche a 30 dB, per esempio: questi sono utili per esempio in misure, in circuitistica, di solito, si usano a 3 dB.

Per gli accoppiatori si definiscono quattro fondamentali grandezze: il coefficiente di accoppiamento, di trasmissione, di isolamento, di adattamento di ingresso, in dB. Si vorrebbe, infatti, riguardo quest'ultimo, $S_{11} = P_1 = 0$, in modo da garantire l'adattamento alla porta di ingresso. Si rammenti che l'adattamento è di conformità: non si sa altro che il fatto che $Z_{in} = R_o$, dove R_o è l'impedenza di riferimento.

Idealmente, sarebbe bello non avere perdite, ovvero cioè un dispositivo reattivo.

Si parla in letteratura di halberon: si tratta di accoppiatori con uno sfasamento di 180° , ma basta da aver, per il modo

comune e per il modo differentiale che vengono a formarsi, impedire segnali; ciò purtroppo è assai difficile da fare, a microonde.

Linee accoppiate

Sono delle linee di trasmissione, come suggerisce il nome, "accoppiate": due microstrutture (o coplanari) abbastanza vicine da poter dire che i due modi di propagazione sono legati. La spaziatura tra le linee dunque deve "euristicamente" essere minore del doppio dello spessore del dielettrico, per avere qualche accoppiamento. Vale andando per il centri! volendo disaccoppiare, almeno più del doppio dello spessore del dielettrico! (qualche centinaio di μm può andare).

La trattazione (che vediamo solo per sommi capi) è simile a quella dei telegrafisti: si hanno due linee di trasmissione, che però "parlano" tra loro a causa di una capacità mutua (data dalla vicinanza dei conduttori) e da una mutua induttanza, data dal fatto che la corrente di una linea e quella dell'altra sono concatenate dalle (circa) stesse linee di campo (c'è del campo magnetico di catena entro le correnti).

Definito del problema due capacità e due indutture, in forma matriciale:

$$\underline{\underline{L}} = \begin{bmatrix} L_o & -L_m \\ -L_m & L_o \end{bmatrix}$$

$$\underline{\underline{C}} = \begin{bmatrix} C_s & C_m \\ C_m & C_o \end{bmatrix}$$

Avremo una trattazione molto simile a quella delle idee "telegrafisti", però in forma vettoriale!

$$\left\{ \begin{array}{l} \frac{d V(z)}{dz} = j\omega L \stackrel{!}{=} I(z) \\ \frac{d I(z)}{dz} = j\omega C \stackrel{!}{=} V(z) \end{array} \right.$$

Se poi sostituisco la seconda nella prima:

$$\frac{d^2 V(z)}{dz^2} = -\omega^2 L \stackrel{!}{=} V(z)$$

La soluzione è data dalla sovrapposizione di due modi, della forma:

$$V(z) = V_0 \exp(-jBz)$$

Rome nelle linee, si hanno due soluzioni valide per B , che ora hanno un forte significato fisico: i due modi sono uno pari (p), uno dispari (d), per cui per il primo (pari) lo stesso tensioni delle due piste sono uguali tra loro, mentre nel secondo (dispari) sono uguali in modulo, ma discordi in segno.

Sotto il punto di vista della topografia dei campi:

- nel modo pari, le linee di campo elettrico si chiudono solo tra conduttore e piano di massa, ma non ha un "muro" di campo elettrico tra le due piste; il campo magnetico concatena ciò.
- nel modo dispari capita qualcosa di diverso: tensioni e correnti sono uguali e opposte, dunque parte delle linee di campo elettrico si chiudono da un conduttore all'altro, ma non ha un muro di campo magnetico.

Ai due modi come detto corrispondono due costanti di propagazione β diverse; si può dimostrare che esse sono legate al rapporto tra la capacità della struttura e quella in aria; si può vedere che:

$$\left\{ \begin{array}{l} l_p = l_o - l_m \\ l_d = l_o + l_m \end{array} \right.$$

La capacità mutua è quella che fa "separare" i due modi tra loro. Come si può sempre dimostrare, si ha:

$$z_{po} > z_o > z_{do}$$

Tutto ciò che abbiamo fatto in realtà deriva da un ipotesi fondamentale: il fatto che la linea accoppiata è simmetrica, ovia che le due piste sono identiche. Se cade questa ipotesi, c'è anche l'analogia intrecciata.

Un'altra osservazione: le due velocità di fase dei modi pari e dispari sono diverse, a causa della non omogeneità dei mezzi (aria e dielettrico). Questo porta ad avere modi "diminroni". In microstruttura nella fattispecie i modi sono molto diminroni, mentre in coplanare "quasi sincroni"; purtroppo la coplanare però va male sotto altri punti di vista, quali la sufficienza di progetto del layout.

Esistono andamenti grafici e formule in grado di quantificare l'accoppiamento come funzione della spazzatura, e il dissincronismo. Più le piste sono spaziate, più i modi tendono a essere indipendenti, disaccoppiati.

Accoppiatori a linee accoppiate

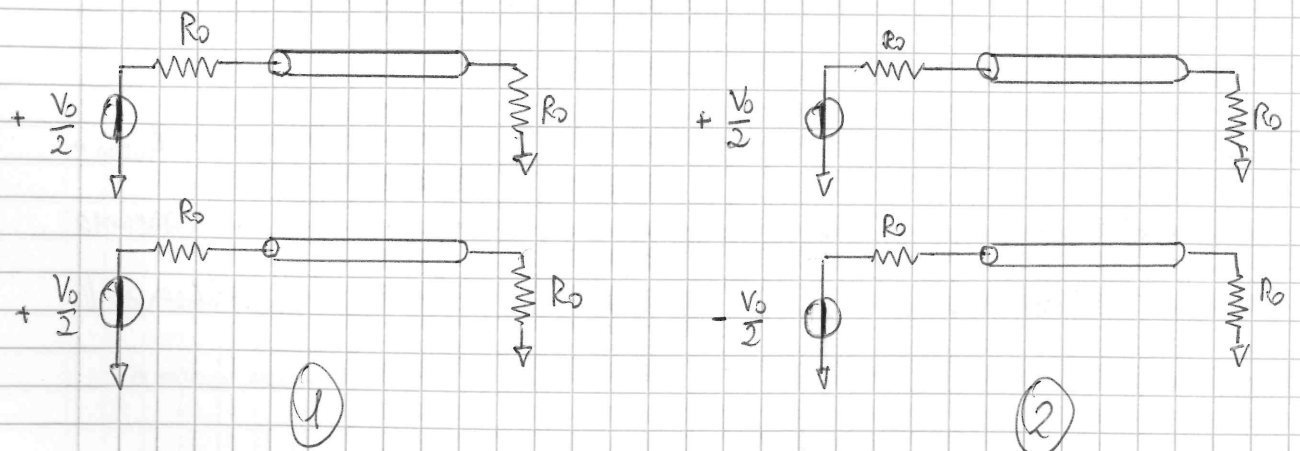
Date due linee accoppiate lunghe $\lambda/4$, volendo idealmente accoppiatori reattivi, la cosa dove riflettersi sulla matrice Ξ : il modulo quadro di tutte le componenti nella stessa riga o sulla stessa colonna, sommate, fa 1.

Si hanno inoltre evidenti proprietà di simmetria, nella matrice: i vari elementi non sono tra loro disaccoppiati, indipendenti.

L'idea che vorremmo fortemente è, per la porta di ingresso, la condizione di adattamento di conformità i per simmetria, inoltre, esso verrà garantito anche alle altre porte.

Per caratterizzare il circuito si farebbe calcolare l'ammittenza degli elementi non nulli: terminare le porte di uscita con la loro impedenza di riferimento (che supponiamo essere R_0), e mettere sulla porta di ingresso un generatore V_0 con impedenza interna R_0 .

L'idea mi può fare, però, i ricordare che questa struttura supporta due modi di propagazione, uno pari e uno dispari; l'idea è: invece di ecatto come prima detto, si può fare una "sovraimpostione degli effetti" di due circuiti: uno ecatto col solo modo pari, uno col solo modo dispari:



Il primo circuito si comporta di fatto come una sola linea, dove vi è il solo modo pari.

Il secondo circuito si comporta di fatto come una sola linea, dove vi è il solo modo dispari. (Gatti sul Ghisa - Paolo)

Per studiare l'accoppiatore, dunque, si propone di subito una trattazione idealizzata (ma dunque errata), per cui si considerano le due linee sincrone, e dunque di lunghezza elettrica pari a $\lambda/4$ sia per modi pari, sia per modi dispari; a questo, poi, si aggiungono correzioni per tener conto del dissincronismo. Questo accoppiatore, come si potrebbe dimostrare, è a 90° ; e (fatto di accoppiamento) è legato alle impedenze dei modi pari e dispari. Si può usare:

$$Z_{\text{par}} = R_0 \sqrt{\frac{1+c}{1-c}}$$

$$Z_{\text{dis}} = R_0 \sqrt{\frac{1-c}{1+c}}$$

Tutto è R_0 , per impostare i valori di $Z_{\text{par,dis}}$, è necessario usare formule analitiche simili (ma più complicate) a quelle della microstriscia, tenendo conto della spazatura.

C'è da tenere in conto anche gli effetti di dissincronismo: l'accoppiatore è progettato come idealmente sincrono, ma in realtà il dissincronismo dipende da quanto le linee sono accoppiate. A causa del dissincronismo le prime cose che andiamo a perdere sono gli adattamenti e gli isolamenti: ciò è ancora più fastidioso della indeterminazione sul fattore di accoppiamento!

L'idea che capita facendo il progetto è che per avere determinate

impedenze per il modo pari e per quello dispari può capitare che la spaziatura tra le piste abbia valori assurdi (anche di 1 fm), cosa irrealizzabile tecnologicamente per piste lunghe.

Che si fa allora? Un'idea per aumentare l'accoppiamento con comunque spaziature ragionevoli è quella di aumentare il numero di piste, e ricavare un sistema equivalente teorico a 2 conduttori. Mediante un insieme di ponticelli (corti per non incappare in effetti sgradevoli) si può imporre l'equipotenzialità, ottenendo qualcosa di equivalente a un sistema a 2 conduttori, con però capacità multe molto più elevate, pur avendo linee più spaziate.

Vi sono due soluzioni fondamentali:

- Unfolded: sarebbe bello che la potenza uscisse però "dell'altra parte" del layout; la potenza finisce per andare verso la stessa direzione da cui è entrata e ciò non ci piace.
- Folded: si "taglia" una linea per farla andare in "su" invece che "in giù". Si richiede un po' più di ponti in aria, ma è comunque molto più comodo rispetto al piano.

Questi tipi di accoppiatori sono detti "accoppiatori di Lange".

Esistono formule che permettono di dimensionare queste strutture in funzione del numero di piste K , e delle resistenze di modo pari e dispari che avrei con un accoppiatore equivalente ma a due piste. Una formula ricorsiva permette poi di tener conto dei più conduttori.

Si hanno dei grafici che danno un'idea di quanto debba valere il rapporto tra R_{op} e R_{od} , al variare del numero di

conduttori; dal rapporto, poi, si può ricavare la spaziatura. Se si mettono troppi conduttori, si finisce per dover avere piste troppo strette, perché le impedenze delle varie piste crescono con K . Un buon compromesso è $K=6$.

Questi accoppiatori sono lunghi quanto il branch-line, ma più stretti! Inoltre, data la presenza di tutti i conduttori, il Lange ha una banda fino a un'ottava della frequenza di lavoro.

Riassi agli schemi interfacciali

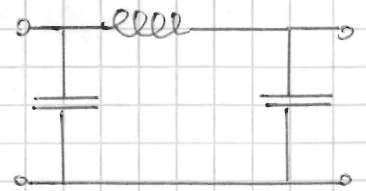
I due principali schemi interfacziali sono il branch-line e il rat-rac; esistono semplici formule che permettono di progettarli.

Una nota sula riguardo questi schemi: almeno per un singolo valore di frequenza, ogni linea di trasmissione ha un analogo a parametri concentrici; ciò significa che è possibile trovare un circuito che possa rappresentare a parametri concentrici la rete.

A microonde quando si fa qualcosa del genere, si tende a usare circuiti a T , o comunque con capacità che non a massa, perché più semplice da realizzare.

Riassi al divisorio Wilkinson

I divisori di potenza servono a suddividere/racchiudere la potenza di vari stadi; il modo più matto per farci è il



Wilkinson: esso è l'unico ben realizzabile planarmente.
La resistenza è antipatica, dunque a volte si progetta senza di essa. Come gli accoppiatori, infatti, anche il Wilkinson ha un modo pari e uno dispari; se non si cura di connettere le due porte in modo simetrale e dunque di usare un modo pari, la resistenza è entata.

Purtroppo però il layout non è mai neutrale al progetto, e i dispositivi attivi usati da carico ancora meno! Se il modo non è perfettamente pari si avrà un po' di sfilarciamento; inoltre, senza la resistenza, le porte 2 e 3 non saranno più decapitate, e ciò è brutto! Ciò potrebbe infatti innescare degli anelli di oscillazione, che fanno "parlare tra loro" i dispositivi attivi, causando possibili instabilità.

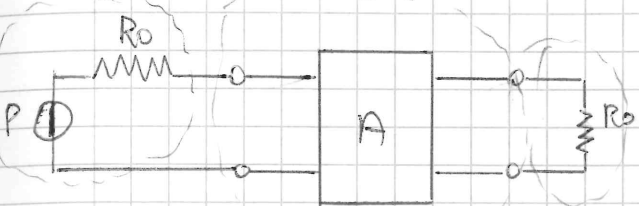
Due-porte caricati

Entriamo ora nel cuore della trattazione: il progetto. Per esso, vediamo solo applicazioni lineari (dunque, amplificatori) e di amplificatori, ve ne sono di vari tipi:

- Amplificatori ad alto guadagno (ubili per tirar su il livello di segnale): possono essere usati ed esempio come driver per gli stadi finali;
- amplificatori a basso rumore (LNA): progettati per ottenere la miglior alpha di rumore possibili (molto utili come front-end per la ricezione);
- amplificatori di potenza (PA): progettati per ottenere la massima

potenza! Si possono usare onde "di poco fuori linearità", pur di tirar su la potenza (amplificatori quasi-lineari).

Ora, cosa fa un amplificatore?



Si tratta di un oggetto fatto di tre parti: un carico, un generatore di potenza, e l'amplificatore vero e proprio. L'idea che vogliamo capire è cosa capita alla potenza quando si collega tutto ciò: questa potenza è trasmessa ad A e questa da A al carico.

Facciamo un passo per volta: studiamo per ora un circuito dato da un generatore di onda impresa e da un carico; in secondo momento, il carico sarà sostituito dal blocco A e dal suo carico. Si ha dunque ad:

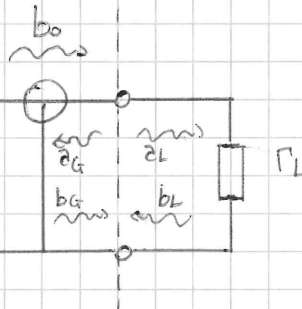
Definiamo per semplicità le varie onde come riferite alla stessa impedenza di norma:

L'ipotesi è di non intrusione delle seguenti relazioni:

$$\left. \begin{array}{l} a_L = b_G \\ a_G = b_L \end{array} \right\} \text{relazioni topologiche}$$

$$b_G = b_0 + \Gamma_G a_L \quad \left\} \text{relazione costitutiva del generatore} \right.$$

$$b_L = \Gamma_L b_0 \quad \left\} \text{relazione costitutiva del carico.} \right.$$



Risolvendo il sistema:

$$b_G = b_0 + \Gamma_G b_L, \text{ ma } b_L = \Gamma_L a_L$$

$$\Rightarrow b_0 = b_0 + \Gamma_G \Gamma_L a_L \rightarrow a_L = b_0 + \Gamma_G \Gamma_L a_L$$

$$\Rightarrow a_L = \frac{b_0}{1 - \Gamma_G \Gamma_L} \quad [\text{questa è l'onda che incide sul carico}]$$

Inoltre, avremo:

$$b_L = \Gamma_L a_L$$

Ora, note le onde a e b sul carico L , si può determinare la potenza che il carico assorbe dal generatore:

$$P_L = |a_L|^2 - |b_L|^2 = |a_L| [1 - |\Gamma_L|^2] = |b_0|^2 \frac{1 - |\Gamma_L|^2}{1 - |\Gamma_L|^2}$$

Driviamo questa funzione rispetto a $|\Gamma_L|$ e annullandola, si riesce a vedere che la potenza è massima quando $|\Gamma_L| = \Gamma_G^*$.

Introducendo ciò nella formula, si ottiene:

$$P_{\max} \triangleq P_{\text{disp}} = \frac{|b_0|^2}{1 - |\Gamma_G^*|^2}$$

Questa è detta "potenza disponibile", ed è la massima potenza assorbibile dal generatore sul carico.

Sostituendo nella espressione generica, si ottiene:

$$P_L = P_{\text{disp}} \frac{[1 - |\Gamma_G^*|^2][1 - |\Gamma_L|^2]}{(1 - |\Gamma_G^* \Gamma_L|^2)}$$

Una conclusione ottima (in cui si ha la potenza disponibile) si detta "adattamento energetico": essa riduce le condizioni non sul generatore, ma sul carico: a seconda della resistenza interna di generatore, il carico dovrà essere compatibile.

Si noti che questa condizione in generale non c'entra con

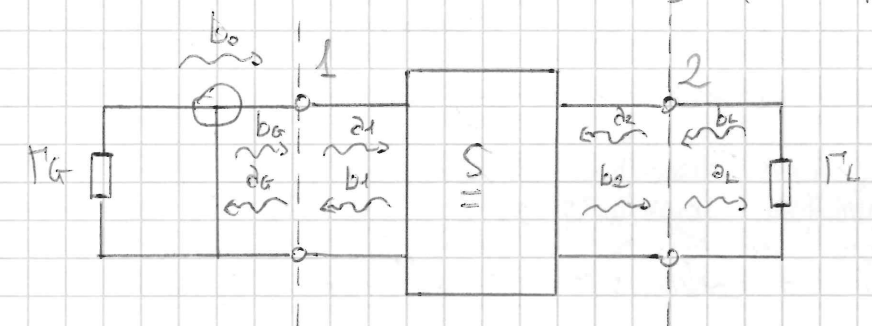
l'adattamento di conformità, a meno che $\Gamma_G = \Gamma_L = 0$: solo in questo caso adattamento energetico e di conformità coincidono!

Passando da onde impresse a tensioni impresse, e le definizioni introdotte, è possibile dire che:

$$P_{\text{disp}} = \frac{|b_0|^2}{1 - |\Gamma_G|^2} = |V_0|^2 \frac{R_0}{|Z_0 + R_0|^2} = \frac{|Z_G + R_0|^2}{|Z_0 + R_0|^2 - |Z_G - R_0|^2} = \frac{|V_0|^2}{|Z_0 - Z_G|^2}$$

A volte può capitare, in certi circuiti, di dover sacrificare il rendimento di avere adattamento energetico; se possibile, però, si cerca di averlo.

Ora: interponiamo un oggetto tra carico e generatore: oggetto descritto mediante la sua matrice Σ ; che capita?



Scriviamo le relazioni topologiche e costitutive del sistema:

$$\begin{cases} a_1 = b_0 \\ b_1 = a_0 \\ b_2 = a_L \\ a_2 = b_L \end{cases}$$

Relazioni topologiche

$$\begin{cases} b_G = b_0 + \Gamma_G a_0 \\ b_1 = S_{11} a_1 + S_{12} a_2 \\ b_2 = S_{21} a_1 + S_{22} a_2 \\ b_L = \Gamma_L a_L \end{cases}$$

Relazioni costitutive

Sostituendo le relazioni topologiche nelle sostitutiva, si ottiene un

sistema di 4 equazioni in 4 incognite:

$$\begin{bmatrix} 1 - \Gamma_G & 0 & 0 & a_1 \\ -S_{11} & 1 - S_{12} & 0 & b_1 \\ -S_{21} & 0 & 1 - S_{22} & a_2 \\ 0 & 0 & 1 - \Gamma_L & b_2 \end{bmatrix} \begin{bmatrix} a_1 \\ 0 \\ 0 \\ b_2 \end{bmatrix} = \begin{bmatrix} 1 \\ 0 \\ 0 \\ 0 \end{bmatrix}$$

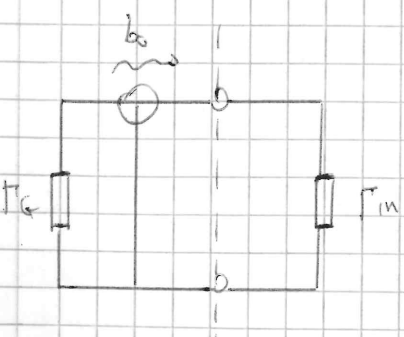
Essendo il determinante della matrice non nullo, il sistema ha soluzione. La soluzione del sistema è costituita da a_1, b_1, a_2, b_2 ; da essi, si può ricavare che:

$$P_m = \frac{b_1}{a_1} = S_{11} + \frac{S_{12} S_{21} \Gamma_L}{1 - S_{22} \Gamma_L}$$

$$P_m = |a_1|^2 - |b_1|^2 = |b_2|^2 \frac{|1 - S_{22} \Gamma_L|^2 - |S_{11} - S_{12} \Gamma_L|^2}{|(1 - S_{11} \Gamma_G)(1 - S_{22} \Gamma_L) - S_{12} S_{21} \Gamma_G \Gamma_L|^2}$$

Siamo interessati dunque soprattutto alla parte di ingresso, e nella fattispecie al suo coefficiente di riflessione, e alla potenza che viene assorbita all'ingresso dell'amplificatore.

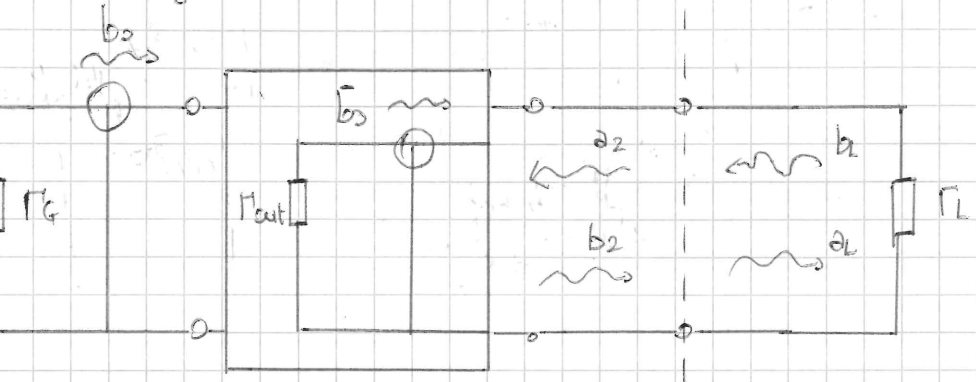
Si noti che P_m non dipende dal generatore ma solo da Σ e da Γ_L . Un modo alternativo per vedere ciò è considerare questo circuito:



Dove P_m può essere ricavato direttamente dalla matrice Σ .

Ora cosa capita in usata al 2-parte? Beh, si dovrà fare

qualcosa di simile a prima, guardando la sezione 2, in modo da ottenere un generatore di uscita equivalente. Si vuole ottenere qualcosa del genere:



Cioè che si fa è sostituire il blocco Σ e ciò che l'usata vede mediante questo "generatore equivalente", che modella il comportamento di ciò che è usato dall'usata. Perché fare ciò? Beh, siamo interessati, come fatto per l'ingresso, ad avere modelli "semplici" per studiare il trasferimento di potenza, in modo da caratterizzarne il circuito.

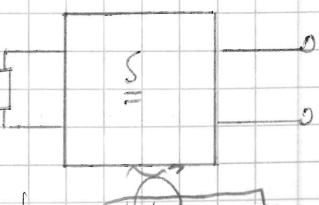
Si ricordi che, risolvendo il sistema 4×4 , abbiamo anche trovato un'espressione di b_2 , ora della tensione sulla sezione 2.

Si fa qualcosa di analogo simile, ovviamente, a ciò che si fa per il blocco dell'equivalente Thevenin/Norton: il fatto è ciò che si riflette in usata quando le caratteristiche sono sparse, o sia quando b_0 è spento; b_0 è b_2 quando $a_2 = 0$, o sia quando il circuito è chiuso in di un conio tale da avere un Γ_L nullo. Annulla dunque nell'espressione di b_2 il Γ_L .

$$b_2 = b_0 + m_{out} a_2$$

$$b_0 = b_0 - \frac{S_{21}}{1 - S_{11} \Gamma_G}$$

$$m_{out} = S_{22} + \frac{S_{12} S_{21} \Gamma_G}{1 - S_{11} \Gamma_G}$$



Si noti che, se P_m è l'uscita del conio, m_{out} è l'uscita del generatore

e non del carico, che dunque dipende solo da ciò che sta a sinistra.

Data questa rappresentazione, è possibile usare le formule e trovare la potenza sul carico con espressioni precedentemente presentate.

In maniera analoga a quella precedente, si può dire che:

$$P_L = |\bar{b}_0|^2 \frac{1 - |\Gamma_L|^2}{|1 - \text{Mout } \Gamma_L|^2}$$

Sostituendo $|\bar{b}_0|^2$:

$$\Rightarrow P_L = |\bar{b}_0|^2 \frac{|S_{21}|^2 [1 - |\Gamma_L|^2]}{|1 - \Gamma_L \text{Mout } \Gamma_L|^2 |1 - S_{11} \Gamma_G|^2}$$

Da qui lavoriamo sul denominatore:

$$|1 - \text{Mout } \Gamma_L|^2 = \left| 1 - \Gamma_L \left(S_{22} + \frac{S_{12} S_{21} \Gamma_G}{1 - S_{11} \Gamma_G} \right) \right|^2 \quad \begin{array}{l} \text{moltiplico per l'altro} \\ \text{termine: } |1 - S_{11} \text{Mout } \Gamma_L|^2 \end{array}$$

$$\Rightarrow \left| 1 - \Gamma_L \left(S_{22} + \frac{S_{12} S_{21} \Gamma_G}{1 - S_{11} \Gamma_G} \right) \right|^2 \left| 1 - S_{11} \Gamma_G \right|^2 = \left| \left(1 - \Gamma_L S_{22} \right) \left(1 - S_{11} \Gamma_G \right) - \Gamma_L \Gamma_G S_{12} S_{21} \right|^2$$

$$\Rightarrow \left| 1 - \Gamma_L S_{22} \right|^2 \left| 1 - S_{11} \Gamma_G - \frac{\Gamma_L \Gamma_G S_{12} S_{21}}{1 - S_{22} \Gamma_L} \right|^2 = \left| 1 - \Gamma_L S_{22} \right|^2 \left| 1 - \Gamma_G \left(S_{11} + \frac{\Gamma_L S_{12} S_{21}}{1 - S_{22} \Gamma_L} \right) \right|^2$$

$$= \left| 1 - \Gamma_G S_{22} \right|^2 \left| 1 - \Gamma_G \Gamma_L \right|^2$$

In alternativa, si potrebbe usare la definizione "dritta" di P_L :

$$P_L = |\bar{a}_0|^2 - |\bar{b}_0|^2$$

Quindi

Data la modellistica finora introdotta, introduciamo alcune definizioni di guadagni:

- Guadagno operativo (power gain):

$$G_{op} \triangleq \frac{P_L}{P_{in}}$$

- Guadagno di potenza disponibile (available gain):

$$G_{disp} \triangleq \frac{P_{disp}}{P_{adisp}}$$

Questa è la potenza disponibile, non quella totale!

- Guadagno di trasduzione: potenza nel carico diviso potenza disponibile nel due-punto (transducer gain):

$$G_t = \frac{P_L}{P_{G\text{ disp}}}$$

Sono stati definiti tre guadagni poiché ognuno di essi fornisce informazioni diverse sul nostro sistema.

Ricordiamo che un generatore può erogare una potenza al più pari alla potenza disponibile; quest'ultima è un parametro dipendente dal solo generatore:

$$P_{disp} = \frac{|\bar{b}_0|^2}{1 - |\Gamma_G|^2}$$

Quanta di questa potenza sia poi trasmessa al carico dipende anche del carico a cui il generatore è collegato.

Si consideri dunque la sezione "destra" del circuito: anche lì ci sarà un consumo di potenza disponibile, dall'uscita del blocco \trianglelefteq al carico, e questa potrebbe non coincidere con la potenza disponibile del generatore; d'altra parte, anche in questo caso, non è detto che tutta questa potenza vista sul carico dipenda del carico. Se prima questo carico era il blocco \trianglelefteq , ora sarà il " Γ_L " finale.

Facciamo altre altre considerazioni:

- Il guadagno operativo è dato da P_L su P_{in} ; non verrà conto

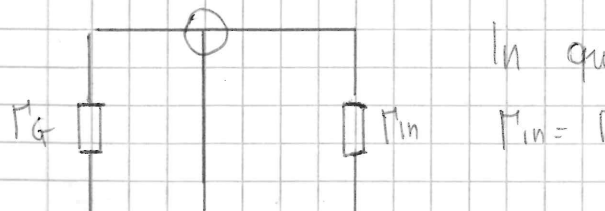
del carico, dunque di P_L , ma non del generatore, dunque di P_G .
Si dice che "dipende dal carico, non dal generatore".

- Il guadagno di potenza disponibile dipende da ciò che si ha a sinistra della porta di uscita, ma dunque, al contrario di prima, "non dipende dal carico, ma solo dal generatore equivalente che si vede in uscita": da P_G , non da P_L .
- Il guadagno di trasduzione dipende dalla potenza erogata al carico e da quella disponibile: ciò che il carico assorbe su ciò che il generatore può mandare! Questa è la definizione più "ampia", quella "con più informazioni": dato un generatore, quanto della sua maxima potenza è assorbita dal carico.

Dal punto di vista del progetto, vorrei tutti più evaso comoda, anche se quello che alla fine conta è quello di trasduzione.

Ora, ci chiediamo: quando ho il migliore dei trasferimenti di potenza? Beh, quando dentro al blocco entra la potenza disponibile, ed essa viene ben assorbita dal carico.

Si dice che quando il generatore dà tutta la potenza disponibile si ha "adattamento energetico di ingresso":



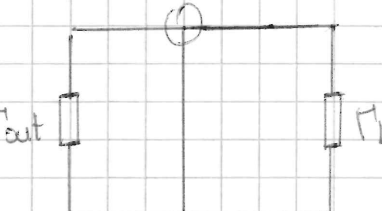
In questo caso,

$$P_{in} = P_G^*$$

Quando nel blocco al carico si trasfusa

tutta la potenza disponibile, si ha

"adattamento energetico di uscita": $P_L = P_{out}^*$



Quando si vede simultaneamente soddisfatte le due condizioni si dice un "adattamento simultaneo".

Chiedere queste relazioni soddisfatte significa sostanzialmente risolvere un sistema in P_G e P_L , le cui soluzioni sono:

$P_{G\text{opt}}$ → riflessione di generatore ottima

$P_{L\text{opt}}$ → riflessione di carico ottima

Ora, chi oriamo un concetto: il tanto fantomatico "blocco" di cui si sta tanto parlando, è un FET, ovvero un dispositivo attivo; sarà dunque il FET quello che impone le condizioni di ottimo, e noi dovremo lavorare, "tenendo" carico e generatore, al fine di ottenerla (o comunque di ottenere altre particolari condizioni).

E metto dunque il FET nel circuito e ottengo, mediante impostazione di carico e generatore, la condizione di "ottimo", avrò il miglior trasferimento di potenza tra generatore e carico.

Una volta maximizzato il trasferimento di potenza, che guadagno ho? È massimo pure il guadagno? E quale dei guadagni è massimo?

Si può dimostrare che, data la condizione di adattamento simultaneo, anche i tre guadagni hanno un valore massimo, che coincide e corrisponde a quello che ho nella condizione di adattamento energetico.

Si consideri la seguente rappresentazione:



Oltre ai tre blocchi fondamentali, ci sono due blocchi "interni", che tengono conto del fatto che P_{in} e P_{disp} , come P_L e P_{load} , possono essere diverse. Guardiamo i quesogni sotto questo punto di vista:

- Gsp tiene conto solo del terzo e del quarto blocco: se lo massimo, posso dire che $P_L = P_{opt}$, ovvero ho maximizzato il trasferimento di potenza al carico, ma senza tener nello del generatore.
- Gdisp metterebbe un discorso simile a Gsp: se lo massimo, ho $P_L = P_{opt}$, dunque maximizzo il trasferimento di potenza al FET, senza però d'essere nulla sul carico. Questo parametro coinvolge il secondo e il terzo blocco della rappresentazione.
- Il caso ottimo, ovvero la maximizzazione del quesogno di potenza, si ha solo se entrambe le condizioni sono soddisfatte, e questo coincide col d'essere il massimo del quesogno di trasduzione.

Osservando formule e grafici, potremmo dedurre cose all'estrema scrittura: se per esempio $P_L=1$, il carico è reattivo, dunque non può assorbire potenza, o così via.

Esistono delle "curve di livello" per il quesogno: finito un certo Gsp (per esempio), che potrebbe essere 10 da 20 dB, si vede vedere quali sono i P_L che soddisfano questo quesogno. Beh, si può dimostrare che le curve di livello sono dei cerchi, sulla carta di Smith, e che dunque tutti i P_L vengono bene per ottenere questo quesogno. I cerchi stanno tutti uno dentro l'altro, e i loro centri stanno su di una retta.

Sulla carta di Smith esiste un P_{opt} per cui "è più massimizzazione".
 $G_{opt} :$

$$G_{opt\max} = \frac{S_{21}}{S_{12}} \left[K - \sqrt{K^2 - 1} \right] \quad \begin{array}{l} \text{dove "K" è detto "coefficiente di"} \\ \text{"stabilità"}, \text{ e } K \geq 1 \end{array}$$

Si può vedere che, scambiando P_L con P_G e la posta 1 con la 2, $G_{disp} = G_{opt}$. Ciò è una buona cosa poiché, trovato il massimo di un quesogno, si trova anche il massimo dell'altro con una certa facilità. Se poi maximizzo il quesogno di trasduzione vedo che $P_L = P_G$ devono essere uguali agli ottimi, dunque agli altri due.

Queste considerazioni mi permettono fare se si verificano le condizioni di stabilità, che definitiva cosa sta bene.

Se esiste il massimo quesogno, ma legato a P_{opt} sia a P_{opt} , esso viene detto "MAG"; Maximum Available Gain.

In letteratura si parla anche di "quesogno di trasduzione unilaterale": esso è il quesogno di trasduzione, supponendo che il due-punto abbia $S_{12}=0$ (ovvero che esso sia unilaterale). Questa è una condizione "all'estrema destra", ma che comunque introduce un'approssimazione rilevabile, sensibile.

Bisogna stare attenti poiché il feedback che "tuttavia" S_{12} varia in frequenza: esso potrebbe per esempio essere Gsp del FET; usare questa approssimazione può essere comodo per far i conti a mano, ma non per progettare in via definitiva qualcosa. Più avanti soprattutto utile per verificare gli adattamenti: se $S_{12} \approx 20$, infatti,

$$P_{in} \approx S_{11}, \quad P_{out} \approx S_{22}$$

Si potrebbe approssimativamente progettare generatore e carico come:

$$M_G \approx M_L \approx S_{11}^* \quad ; \quad T_L \approx T_{\text{out}} \approx S_{22}^*$$

Alllo stesso modo si può definire il MUG (Maximum Unilateral Gain).

Ultima definizione, se verrà meglio ripresa e compresa in seguito, riguarda il MSG, Maximum Stable Gain, come:

$$MSG \triangleq \left| \frac{S_{21}}{S_{12}} \right|^2$$

Due-parte concetti - Stabilità

Abbiamo visto le varie definizioni di quodogno, fissate le terminazioni di generatore e di carico; mediante esse, è possibile o non essere insonnare i quodogni.

Oltre di cui non si è per ora parlato è la stabilità: stiamo supponendo che tutto sia stable, ora do non vi siano loop.

Purtroppo non è così facile: il dispositivo non introduce amplificazione, dunque potrebbe instaurare un modo che si autoesiste.

La stabilità è un problema gross a microonde: del momento ci sono quodogni accettabili ad alta frequenza, ne dovranno avere di altri minimi a bassa frequenza, e i loop potranno rendere instabili il circuito.

Matematicamente, che si può dire? Consideriamo il sistema omogeneo

$$\begin{bmatrix} -1 & -T_G & 0 & 0 \\ -S_{11} & L & -S_{22} & 0 \\ -S_{21} & 0 & S_{22} & L \\ 0 & 0 & 1 & T_L \end{bmatrix} \begin{bmatrix} b_1 \\ b_2 \\ b_3 \\ b_4 \end{bmatrix} = \begin{bmatrix} 0 \\ 0 \\ 0 \\ 0 \end{bmatrix}$$

dopo aver dunque spento il generatore

Se esiste una soluzione del sistema omogeneo oltre a quella banale ($a_1 = b_1 = a_2 = b_2 = 0$), significa che qualcosa sta innescando un modo senza do nulla lo stia sostenendo.

Una cosa del genere può capitare se e solo se il determinante della matrice è nullo. Ciò si verifica se:

$$(1 - S_{11} M_G)(1 - T_L T_{\text{out}}) = 0 \xrightarrow{\text{equividente}} (1 - S_{22} M_L)(1 - T_G T_M) = 0$$

Proponiamo delle ipotesi: supponiamo che le terminazioni siano passive, che dunque $|M_G| \leq |M_L| \leq |L|$. Si supponga inoltre che l'alto resistore di libertà, la impedenza di riferimento, sia tale da avere $|S_{11}|$ e $|S_{22}|$ minori di 1; di solito, con un 50Ω , possono stare decisamente tranquilli!

Ora, se si realizzano le diseguaglianze:

$$M_G M_L = 1 \quad ; \quad T_L T_{\text{out}} > 1$$

si ha una potenziale instabilità.

Ricordiamo che:

$$M_{11} = \frac{S_{11} - S_{22} M_L}{1 - S_{22} T_L}$$

$$M_{\text{out}} = \frac{S_{22} - S_{11} M_G}{1 - S_{11} M_G}$$

Al venire del concio M_L e del generale M_G , questi relazioni possono essere maggiori, minori o uguali a 1: ciò dipende solo dai parametri T_L e T_G .

Si dice che un 2-parte è incondizionalmente stabile se, per qualunque T_L e T_G tali da avere carico passivo, vengano verificati i "L" (minori). Se si ha "Z", siamo in una condizione potenzialmente instabile.

Oltre che si fa spesso è vedere direttamente solo $|T_{\text{out}}|$ e $|M_{11}|$:

del momento che gli altri per ipotesi "van boro", se $|M_{\text{in}}|$ e $|M_{\text{out}}|$ saranno minori di 1, saremo sicurissimi di avere incondizionata stabilità.

Guardando le funzioni che legano M_{in} a M_L e M_{out} a M_G , si può vedere che esse sono trasformazioni di Möbius, dunque da C in C , bilineari, che mappano la circonferenza e i punti interni a un altro cerchio.

La prima idea è: dati gli inviemi dei M_L e M_G passivi, si può mappare l'insieme attraverso queste trasformazioni, e vedere quale sarà l'immagine della trasformazione da tutti i valori di M_L e M_G in modulo minori di 1, vedere quali valori si hanno per M_{in} e M_{out} (rispettivamente), su di una seconda carta di Smith.

Del punto di vista del progetto, però, ciò non è poi così interessante: i parametri che noi possiamo definire e variare non sono M_{in} e M_{out} (facilmente, almeno), ma M_L e M_G . La seconda idea è dunque alla prima: dato l'inviere dei M_{in} e M_{out} nel cerchio unitario, so mapparli, ora studiamo la controimmagine, e vedere quali valori di M_L e M_G si hanno, per poter avere M_{in} e M_{out} "passivi".

La controimmagine di M_{in} su M_L è detta "cerchio di stabilità in uscita", quella di M_{out} su M_G "cerchio di stabilità in ingresso".

Si ha a questo punto un problema: noi sappiamo identificare il cerchio di stabilità, ma non sappiamo se la controimmagine è all'interno o all'esterno di esso: non sappiamo se la controimmagine sarà l'interno o l'esterno del cerchio!

Come si può identificare quale sia la zona? Beh, dipende da

dove sta il centro della carta di Smith: il centro della carta di Smith di nuovo fa parte della regione di stabilità, del momento che, se $M_L = 0$, $M_{\text{in}} = S_{11}$, il quale per ipotesi nostro è stabile, dunque è punto della controimmagine, e tutta la regione circostante di convergenza! Stesso discorso per $M_G = 0$, $M_{\text{out}} = S_{22}$. Si tenga a mente che il bordo della circonferenza è potenzialmente instabile.

Si noti che questi cerchi sono diversi per ogni frequenza, ma i progettisti devono fare in modo da avere stabilità per ogni frequenza: l'instabilità a una certa frequenza distrugge l'intero progetto.

Esistono relazioni fra stabilità e guadagno: si può dire che se il 2-punto è incondizionatamente stabile, allora valgono tutti i discorsi precedentemente fatti sui guadagni.

Se invece si ha potenziale instabilità, si può vedere che, sul cerchio di stabilità, il guadagno diviene infinito: solo nella incondizionata stabilità ha senso chiedersi quale sia il numero del guadagno.

Si ha una condizione limite: se il cerchio di stabilità è tangente alla carta di Smith (cerchio unitario), si può dimostrare che i cerchi a guadagno costante sono tangentì a quello di stabilità. In questa condizione il guadagno massimo esiste, ed è pari al MSS:

$$G_{\text{MAX}} = \frac{S_{21}}{S_{12}}^2$$

Se il cerchio di stabilità è fuori dalla carta di Smith, si ha

incondizionata stabilità; se è parzialmente debole, ma fatta della cdS è instabile (potenzialmente), dunque non possono progettare dei circuiti P_L e P_G , prestando però attenzione: si vuole sempre avere un certo margine di stabilità.

Una volta i circuiti si usano molto per il progetto recentemente è molto più comune usare un trucco: per togliere i loop e imparare una condizione di stabilità, si cerca di allontanare il guadagno del FET non solo a zero frequenze, mediante reti RC (o RL, meno usate), in modo che si dia una "mazzata" in banda non-di-lavoro al guadagno, ma in banda passante tutto sia regolare. In sostanza così si "stabilizza" il dispositivo mediante elementi dissipativi, forzando la stabilità incondizionata. Di solito queste reti si mettono sull'ingresso, momento sull'usato; sull'ingresso c'è da "gestire" meno la potenza, ma si introduce più rumore; dipende dall'applicazione.

criteri di stabilità

Vi sono dei criteri che permettono di capire se si è o meno in stabilità.

Si dimostra che il 2-punto è incondizionatamente stabile se e solo se valgono contemporaneamente:

$$K > 1$$

e una di un tot di diseguaglianze; una delle più usate è $|Z_S| < 1$

Il valore della resistenza dissipativa da usare è uno dei numeri per cui si abbia $K > 1$ nel range di frequenze interessato.

Questo criterio riguarda due parametri: di solito, se $K > 1$, è quasi certo che $|Z_S| < 1$, ma non certo; per avere criteri semplici di stabilità, sono state introdotte le seguenti condizioni:

$$\mu_1 = \frac{1 - |S_{11}|^2}{|S_{22} - S_{11}S_S| + |S_{12}S_{21}|} \leq 1 \quad \text{oppure} \quad \mu_2 = \frac{1 - |S_{22}|^2}{|S_{11} - S_{22}S_S| + |S_{12}S_{21}|} \leq 1$$

Se uno a caso dei due è soddisfatto, siamo a posto di nero. Nota finale: riguardo l'andamento dei guadagni con f , frequenza, si sa che in genere si arriva, andando giù in frequenza, a un punto in cui il dispositivo uscita l'instabilità (punto limite in cui $K=1$); al di sotto di quella frequenza il MAG è un numero complesso, dunque "storcanale" è una rappresentazione, per frequenze per cui $K < 1$, il MSG al posto del MAG; si tratta di una semplice convenzione, senza significati particolari.

Modelli circuitali per piccolo e ampio segnale

L'ultimo mattone che ci manca per imparare a progettare amplificatori è il modello circuitale del dispositivo attivo (nella fattispecie, per noi, dei FET). I modelli sono di varie tipologie, ma una cosa vale per tutte: tanto più un modello è raffinato, veritiero, tanto più facile sarà la realizzazione del progetto, dunque quella della determinazione del modello è una problematica non indifferente. Come si è costruito un modello? Vediamo le opzioni:

- Usare i modelli di corrente-diffusione, risolvere il modello finca e matematico o con l'analisi o con l'analisi numerica, dunque calcolare tensioni e correnti; molto interessante per la analisi, meno per un progettista, poiché complicato.
- Usare i modelli circuitali, in modo da avere qualcosa di facile da implementare sul simulatore. Questi modelli descrivono il sistema in termini di tensioni e correnti alle porte. Vi sono vari parametri (ogni dei generatori pilotati, e altro), che possono essere dedotti a partire dalla simulazione o da misura.
- Modello blackbox: modello per cui non si sa assolutamente nulla sulla finca del sistema: a partire dalle misure, so quel è il comportamento alle porte. Un esempio di modelli di questo tipo sono le reti rendi.

I modelli circuitali possono essere statici o dinamici, lineari o non lineari; la categoria più generale è quella dei modelli dinamici non lineari. I modelli non lineari possono descrivere un sistema in ogni regime di funzionamento, e possono essere usati per amplificatori o per mixer, e altro ancora! Sono i modelli più belli, ma anche quelli più complicati da gestire.

Se il nostro dispositivo deve funzionare in un sistema lineare, il modello può essere linearizzato intorno al punto di funzionamento in continua, ottenendo un modello di piccolo segnale (molto utile per esempio negli amplificatori).

Dovremo enfatizzare soprattutto sui modelli di piccolo segnale, ma in dovranno usare modelli non lineari almeno in un'occasione: la

determinazione del punto di funzionamento in continua, che io devo tantissimamente conoscere.

Modelli di piccolo segnale (lineari, dinamici)

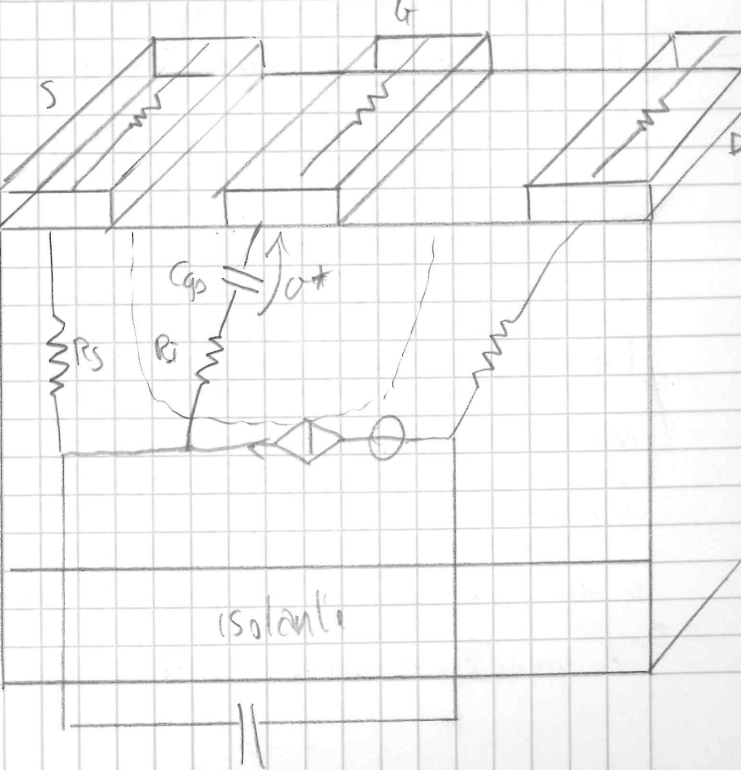
Una volta linearizzato il comportamento del dispositivo, ottenuto il circuito equivalente, è possibile descrivere mediante parametri \mathbb{Z} , \mathbb{Z}_i , \mathbb{Z}_o altri. A devo servire però avere un circuito equivalente?

Di fatto, a partire da un numero limitato di misure, esse permette di estrapolare il comportamento del circuito anche per frequenze a cui la misura non è stata fatta. Ciò è fondamentale, per studiare per esempio anche solo la stabilità!

Ed circuito equivalente s più inoltre studiare dispositivi isolati, cosa identica se non nelle dimensioni.

Infine: ad oltre frequenze il dispositivo segue due "andamenti": quello intrinseco al dispositivo, e quello estinso (dovuto ai parametri parametri). Questa cosa si fa bene con circuiti equivalenti, e non si fa con modelli blackbox.

Consideriamo la finca del dispositivo: si ha una regione di saturazione dovuta al contatto di gate (Schottky). Sotto il canale: gli elettroni del cristallo di source varia al canale, ci sono quelli che ci devono passare ed escono dal contatto di drain. Nel canale la corrente si modella



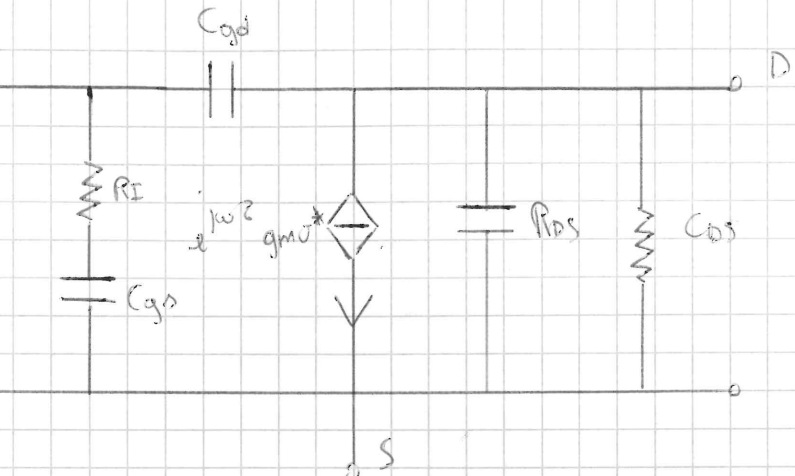
mediante un generatore pilotato, pilotato dalla tensione su C_{gs} ; questa non è V_{gs} , come vedremo tra breve: la tensione che modula la corrente è la tensione che modifica la capacità di sussentamento.

Tra gate e drain c'è un'altra capacità, C_{gd} .

In realtà noi stiamo facendo un modello a una sola capacità, ma si hanno effetti distribuiti, che noi non stiamo tenendo in conto, mettendo una capacità unica. Il modello si può migliorare, con questa C_{gs} , ma non basta: la tensione che cede sul canale non è uguale, e ciò che si può fare, per mettere una tensione non costante sulla C_{gs} , è mettere una resistenza R_I in serie a C_{gs} , detta "resistenza di acciaio del canale"; questa fa l'idea del fatto che con la capacità cambia la corrente, dunque la α^* sul condensatore, tenendo più in conto l'effetto distribuito. Re di solito è piccola, e nei bassi modelli di frequenza si può non tenerne in conto.

Un'altra nota: il pilotaggio non è istantaneo per ogni frequenza: il pilota non riesce a modulare immediatamente la corrente, e quindi lo fa in modo diverso a ogni frequenza. Per tener conto di ciò, si può introdurre uno spessore $\exp(j\omega \tau)$, dove di solito τ è dell'ordine delle frazioni di ps.

Ci sono in realtà altri elementi, parassiti, nel dispositivo: almeno tre resistenze e tre induttanze: le metallizzazioni sono infatti strette, da qui la resistenza, e inoltre esse concorrono corrente, sia qua che all'induttanza. Se poi sotto all'isolante ci ha un pieno di messa o un package, è facile che vi mancano accoppiamenti capacitivi. Il modello circuitale del FET intrinseco sarà una cosa del tipo:



Questo modello ha 7 parametri (senza contare dunque i parassiti) che si fa di solito (si applicherà dopo) è fare misure "a FET freddo", per identificare la rete dei parassiti; fatta ciò, farao altre misure, e identificherà il comportamento regolare del transistore. Si potrebbe ora, per il solo circuito intrinseco, avere la caratterizzazione mediante Z e pensare con le formule a S : chiedo dunque a parte su un conto, e calcoli i parametri.

Consideriamo però il caso unilaterale: dato C_{gs} , dunque la reazione del circuito: a questo punto, calcolerò i parametri S .

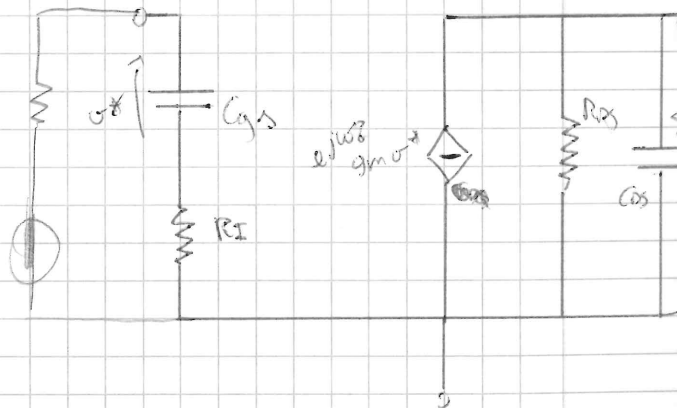
Vediamo:

$$Z_{in} = R_I + \frac{1}{j\omega C_{gs}} = \frac{1+j\omega C_{gs} R_I}{j\omega C_{gs}}$$

$$S_{11} = \frac{1+j\omega C_{gs} R_I - j\omega C_{gs} R_O}{1+j\omega C_{gs} R_I + j\omega C_{gs} R_O}$$

Per quanto riguarda S_{21} :

$$S_{21} = \frac{Z_{out} - R_O}{Z_{out} + R_O} \quad Z_{out} = \left(\frac{1}{R_{ds}} + j\omega C_{gd} \right)^{-1} = \frac{R_{ds}}{1+j\omega R_{ds} C_{gd}}$$



Da qui:

$$S_{22} = \frac{R_{DS} - R_0(1+j\omega R_{DS}C_{DS})}{R_{DS} + R_0(1+j\omega R_{DS}C_{DS})}$$

Inoltre:

$$S_{21} = 2 \frac{\frac{V_2}{V_0}}{1}$$

Ma:

$$V_2 = -gm \omega^* \exp(j\omega \tau) \frac{1}{\frac{1}{R_{II}} + j\omega C_{DS}} = -gm \omega^* \exp(j\omega \tau) \frac{R_{II}}{1 + j\omega R_{II}C_{DS}}$$

Dove $R_{II} = R_{DS} + R_0$

Perciò:

$$\omega^* = \frac{V_0}{(R_0 + R_{II}) j\omega C_{DS} + 1}$$

Dal momento che:

$$\omega^* = \frac{V_0}{R_I + R_0 + \frac{1}{j\omega C_{DS}}} = \frac{1}{j\omega C_{DS}}$$

$$\Rightarrow S_{21} = \frac{-2gm R_{II} \exp(j\omega \tau)}{(1 + j\omega C_{DS} R_{II})(1 + j\omega C_{DS}(R_0 + R_{II}))}$$

$S_{12} > 0$ (abbiamo imposto l'unilateralità)

Vediamo i limiti per bassa ($\omega \rightarrow 0$) e alta ($\omega \rightarrow \infty$) frequenza:

$$\lim_{\omega \rightarrow 0} S_{11} = 1$$

$$\lim_{\omega \rightarrow \infty} S_{11} > \frac{R_I - R_0}{R_I + R_0}$$

$$\lim_{\omega \rightarrow 0} S_{12} = 0$$

$$\lim_{\omega \rightarrow \infty} S_{12} = 0$$

$$\lim_{\omega \rightarrow 0} S_{21} = -\frac{2gm R_0 R_{DS}}{R_0 + R_{DS}}$$

$$\lim_{\omega \rightarrow \infty} S_{21} = 0$$

$$\lim_{\omega \rightarrow 0} S_{22} = \frac{R_{DS} - R_0}{R_{DS} + R_0}$$

$$\lim_{\omega \rightarrow \infty} S_{22} = -1$$

Per bassa frequenza se $R_{DS} \rightarrow \infty$, ho che:

$$S_{21} \approx -2gm R_0$$

Osservando sulla curva di Smith questi andamenti, si può osservare che la Cgd "influisce" all'altotensio S_{22} , che S_{21} da bassa a bassa frequenza, tende a diventare nullo, e altro.

Vi sono alcuni parametri di merito: f_T , e f_{max} .

f_T è il amplificazione di corrente in c.c. diventa unitaria.

Non siamo soprattutto interessati a f_{max} , ma alla frequenza tale per cui il guadagno di potenza diventa unitario ($MAG=1$).

Una cosa positiva è che spesso f_{max} è collegata a f_T ; generalmente quando non si ha più guadagno di corrente si ha ancora un po' di guadagno di potenza, dunque $f_{max} > f_T$; vediamo che più dire: da \underline{Y} :

$$\begin{bmatrix} i_1 \\ i_2 \end{bmatrix} = \begin{bmatrix} Y_{11} & Y_{12} \\ Y_{21} & Y_{22} \end{bmatrix} \begin{bmatrix} v_1 \\ v_2 \end{bmatrix}$$

$$\text{Dato } v_2 = 0, \text{ ho: } \begin{cases} i_1 = Y_{11} v_1 \\ i_2 = Y_{21} v_1 \end{cases} \rightarrow h_{21} = \frac{i_2}{v_1} = \frac{Y_{21}}{Y_{11}}$$

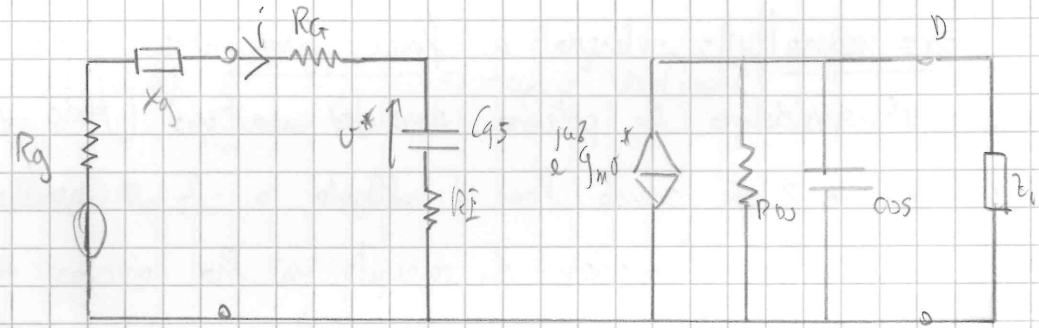
Sostituendo si può dimostrare che ha un polo, trascurando il termine in ω^2 , a frequenza

$$f_T \approx \frac{gm}{2\pi C_{DS}} \quad [C_{DS} \approx 10 C_{gd}]$$

In più alzare f_T lavorando su gm : era più una miglioria mediante materiali veloci (μ_n elevata), o con lunghezza di gate corta (mediante un buon processo litografico).

Facciamo ora l'intervento delle approssimazioni: consideriamo un dispositivo con modello unilaterale (dunque $G_{II}=0$); teniamo invece conto di C_{GS} e di R_G . L'obiettivo è determinare il massimo guadagno disponibile HUG, o meglio il HUG, data l'unilateralità, e ci chiediamo a quale frequenza diventa unitario.

Imponiamo, ma per l'ingresso ma per l'usata, la condizione di $a=$ sull'antenna. Per avere ciò, dunque:



$$Re\{Z_g\} = Re\{Z_{in}\} \quad \text{e} \quad Im\{Z_g\} = -Im\{Z_{in}\}$$

Dunque:

$$R_g = R_G + R_I \stackrel{\approx}{=} R \quad [R_g, Z_g \text{ occ. parallele al generatore}]$$

$$X_g = -\frac{1}{j\omega C_{GS}}$$

Ha dunque, in queste condizioni, $P_{din} = P_{in}$

$$P_{din} = \frac{|E_g|^2}{4R_g} = \frac{|E_g|^2}{4(R_g + R_I)}$$

Per voler fare l'usata si deve voler fare il pilota v^* , dunque calcolare la potenza disponibile di usata, considerando il "generatore" come un generatore reale; lo sto:

$$P_{out} = P_{out} \oplus \frac{1}{j\omega C_{GS}} \quad [\text{e } Z_L \text{ sarà relativa ad ora}].$$

A sinistra:

$$i = \frac{E_g}{2R} \rightarrow v^* = \frac{E_g}{2R} \frac{1}{j\omega C_{GS}}$$

La potenza disponibile in usata sarà:

$$P_{dispon} = \frac{|gm| v^*|^2}{4} \cdot R_{DS}$$

Dunque:

$$HUG = \frac{gm^2 R_{DS}}{4\omega^2 C_{GS}^2 R} = 1 \quad [\text{per calcolare la } f_{max}]$$

Ricordate che, per $HUG=1$, $\omega = 2\pi f_{max}$; da ciò,

$$f_{max} = \frac{gm}{2\pi C_{GS}} \cdot \frac{2}{2} \sqrt{\frac{R_{DS}}{R_G + R_I}} = \frac{f_T}{2} \sqrt{\frac{R_{DS}}{R_G + R_I}}$$

Di solito $R_{DS} \gg R_G + R_I$, e $f_{max} \gg f_T$

Esistono espressioni più complete; ciò che comunque risulta è il fatto che queste espressioni (f_{max}) crescono col volume della lunghezza di guida e all'aumentare della gm .

Parlii sulle misure.

Sarebbe bello poter determinare, estrire i parametri del modello dello spazio del circuito, come chi ξ . In effetti, si può fare qualcosa del genere e, a partire da alcune misure su alcune frequenze, determinare un modello valido per un range molto più ampio. L'idea è in fin dei conti:

- Dalle misure "raw" di ξ , effettuare un de-embedding, e ricavare una rete di parassiti
- Dalle misure tenendo conto degli effetti estinzione (parametri parassiti), si ricava una ξ intrinseca, lungo da questa la sua ξ , e il modello.

Invertendo le formule di \mathcal{I} si possono determinare i vari quadrati e parametri del modello di piccolo segnale.

Modelli di ampio segnale.

Analisi quasi-statica

Si supponga di conoscere il modello di piccolo segnale; di esso, si han vari parametri, calabili a partire dal punto di funzionamento:

V_{GS}, V_{DS}, I_{DS} . Perliamo per esempio di g_m , credo se il discorso vale per tutti.

Si supponga per ora che g_m sia una funzione di $v_{GS}(t)$, $v_{DS}(t)$, $i_{DS}(t)$, e basta: se fesse così, noi potremmo misurare o calcolare, per ogni frequenza, e per ogni valore di V_{GS}, V_{DS}, I_{DS} , il g_m corrispondente; poi, ogni volta che $v_{DS}(t)$ (e gli altri idem), per un certo t , assuma un certo valore I_0 , si va a vedere, per $V_{GS}=I_0$, quanto vale il g_m corrispondente. Credendo i parametri di segnale imponendo vari valori di V_{GS}, V_{DS}, I_{DS} , e quando sanno li calcolo.

Questo metodo è abbastanza facile da realizzare al calcolatore, ma ha un grosso problema: l'effetto di dispersione. I vari parametri del modello, infatti, hanno una dipendenza intrinseca da f , oltre a quella interna a v_{GS}, v_{DS} ecc., e di ciò non si può tener conto, in un'approssimazione quasi-statica. Le capacità si approssimano pure abbastanza bene, ma g_m di solito no.

Vogliamo ora presentare alcuni modelli convenientemente studiati, e molto utili per il progetto a microonde.

Modello di Curvita quadratico

Il primo modello è il modello di Curvita. Se ne presenteremo le idee fondamentali.

- Generatore di corrente: la prima innovazione sta nel generatore di corrente: per modellarlo si è usata una funzione non lineare con una linea collegata a quella del dispositivo, quanto "praticamente utilizzabile", e volendo entrare nel modello a tratti, si è usata una tangente iperbolica:

$$i_D = \begin{cases} \beta (v_{GS} - V_{TO})^2 (1 + \lambda v_{DS}) \tanh(\alpha v_{DS}) & v_{DS} > V_{IO} \\ 0 & v_{DS} \leq V_{IO} \end{cases}$$

\tanh è una funzione che cresce e saluta, e scrivibile. Per il resto, si tiene conto di v_{DS} e di λv_{DS} come nel modello tradizionale.

- Capacità: le capacità sono non lineari, e sono approssimate dicendo che C_{GS} dipende solo da v_{GS} , C_{DS} solo da v_{DS} ; non è, comunque, vero in assoluto. Le capacità si calcolano mediante la formula di pendente dalla retta quadra, con un'approssimazione: se v_{DS} è ancora troppo al potenziale di built-in, si approssima con Taylor e linearizza l'esponente.

- Diodi: le giunzioni sono modellabili mediante diodi Schottky; si eme si tiene conto poiché in piccolo segnale il gate è polarizzato inversamente, i diodi V_{FON} conducono, e in ampio segnale può capitare che si veda in una condizione per cui eme conducono. Iemi poi permettono anche di tenere conto di effetti di breakdown.

Questo modello è più linearezzabile, e se mi spieghi fa ciò, mi devi vedere.
(*) Se ossi conducono, finisce che conducono fini passare una corrente non controllabile di drain.

Per ogni frequenza, per ogni V_{AS} , per ogni V_{DS} , la gm nota è quella
"desiderata" da $gm = \frac{dI_o}{dV_{DS}}$ doveva coincidere.

Modello di Curto e culico

Rispetto al precedente modello, si introduce R_I , e si tiene conto di

$\exp(j\omega t)$ (a parte queste migliorie, ciò che si fa in sostanza è:

$$(V_{DS} - V_{DS})^2 \xrightarrow{\text{sostituto con}} (A_0 + A_1 V_D + A_2 V_D^2 + A_3 V_D^3)$$

Si introduce un modello culico, in grado di tenere conto dell'effetto
di safe-breakdown (in modo che ci dipenda sia da V_{DS} che V_{AS});
culico + Jos riescono a tenere conto di ciò.

Per i HESFET questo modello va bene.

Così il modello di Chalmers (Angelov)

Il problema di Curto è che non può funzionare bene con gli HEMT: in
essi, infatti, la transconduttanza gm tende a saturare, poiché non
si vuole per tensioni più alte (in "diretta"). Si instaura poi il
canale parassita.

Per modellare matematicamente il "plateau" tipico della gm dell'HEMT,
si prende il modello di Curto e si modifica, usando ancora la
tangente iperbolica, questa volta anche nella parte " V_{AS} ". Si
ha questa $\tanh(\gamma)$, dove γ è funzione di V_{AS} .

Ci sono altre modifiche.

Per l'HEMT, questo disegno, questo modello, è attualmente il
massimo.